

Dinh Quang Pham

**Sesongjustering av passasjerer
og flybevegelser – oppdrag for
luftfartsverket**

Notater

Innhold

1 Innledning	6
2 Passasjerer på ruter innenlands totalt	9
2.1 Innledning	9
2.2 Resultater fra sesongjustering	9
2.3 Oppsummering	15
2.4 Program	16
3 Passasjerer på ruter utenlands totalt	18
3.1 Innledning	18
3.2 Resultater fra sesongjustering	18
3.3 Oppsummering	22
3.4 Program	24
4 Passasjerer på charter utlandet totalt	26
4.1 Innledning	26
4.2 Sesongjustering med additiv modell	27
4.3 Sesongjustering med multiplikativ modell	32
4.4 Konklusjon og oppsummering	36
4.5 Program	39
5 Flybevegelser på innenlands ruter, totalt	42
5.1 Innledning	42
5.2 Resultater	43
5.3 Oppsummering	46
5.4 Program	47
6 Flybevegelser på utenlands ruter, totalt	50
6.1 Innledning	50
6.2 Resultater fra sesongjustering	51
6.3 Oppsummering	54
6.4 Program	56
7 Flybevegelser for charter på utenlands ruter	58
7.1 Innledning	58
7.2 Resultater	59
7.3 Oppsummering	61
7.4 Program	61
8 En oppsummering for luftfartsstatistikk	66

Figurer

2.1	Rådata av passasjerer på innenlands ruter (i million)	9
2.2	Rådata gjennom årene (i million)	10
2.3	Rådata og framskrivinger (i million)	12
2.4	Rådata og sesongjusterte tall (i million), fra 1983 til 2001	13
2.5	Rådata og trend (i million), fra 1983 til 2001	14
2.6	Sesongjusterte tall og trend (i million), fra 1983 til 2001	14
2.7	Sesongkomponent i prosent, fra 1983 til 2001	14
2.8	Sesongkomponent i prosent	15
2.9	Den irregulære komponenten i prosent	15
3.1	Rådata av passasjerer på utenlands ruter	18
3.2	Rådata av passasjerer på innenlands og utenlands ruter (i million) . .	19
3.3	Rådata av passasjerer på utenlands ruter	19
3.4	Rådata og framskrivinger	20
3.5	Rådata og sesongjusterte tall, fra 1983 til 2001	22
3.6	Rådata og trend, fra 1983 til 2001	22
3.7	Sesongjusterte tall og trend(i million), fra 1983 til 2001	22
3.8	Sesongkomponent (i prosent), fra 1983 til 2001	23
3.9	Sesongkomponent (i prosent)	23
3.10	Irregulærkomponent (i prosent)	23
4.1	Rådata av passasjerer på charter utlandet	26
4.2	Rådata gjennom årene, over 12 måneder	27
4.3	Rådata og framskrivinger	29
4.4	Rådata og sesongjusterte tall (additiv modell)	30
4.5	Rådata og trend (additiv modell)	30
4.6	Sesongjusterte tall og trend (additiv modell)	31
4.7	Sesongkomponenten (additiv modell)	31
4.8	Sesongkomponenten av 12 måneder gjennom årene (additiv modell)	31
4.9	rådataene og sesongkomponenten (additiv modell)	32
4.10	Den irregulære komponenten (additiv modell)	32
4.11	Rådata og framskrivinger	34
4.12	Framskrivinger ved additiv og multiplikativ modell	35
4.13	Rådataene og framskrivinger	36
4.14	Rådataene og sesongjusterte tall	36
4.15	Rådataene og trend	36
4.16	Sesongjusterte tall og trend	37
4.17	Sesongkomponent	37
4.18	Sesongkomponent	37
4.19	Irregulærkomponent	38

4.20 Avviket i prosent av trender	38
4.21 Avviket i prosent av sesongjusterte tall	38
5.1 Rådata av flybevegelser på innenlands ruter	42
5.2 Rådata og prekorrigerede dataene for kalendereffekter og intervensioner	44
5.3 Rådata og framskrivinger	44
5.4 Rådata og sesongjusterte tall	46
5.5 Rådata og trend	46
5.6 Sesongjusterte tall og trend	46
5.7 Sesongkomponenten	47
5.8 Sesongkomponenten for 12 måneder	47
5.9 Den irregulære komponenet	47
6.1 Rådata av flybevegelser på utenlands ruter	50
6.2 Rådata for 12 måneder	51
6.3 Rådata og framskrivinger	53
6.4 Rådata og sesongjusterte tall	54
6.5 Rådata og trend	55
6.6 Sesongjusterte tall og trend	55
6.7 Sesongkomponenten	55
6.8 Sesongkomponenten for 12 måneder	56
6.9 Den irregulære komponenten	56
7.1 Rådataene	58
7.2 Rådataene og framskrivinger	61
7.3 Rådataene og sesongjusterte tall	62
7.4 Rådataene og trend	62
7.5 Sesongjusterte tall og trend	62
7.6 Sesongkomponenten	63
7.7 Sesongkomponenten for 12 måneder	63
7.8 Den irregulære komponenten	63

Tabeller

2.1	<i>Datoene til 1. påskedag fra 1982 til 2001</i>	11
2.2	<i>Intervensjoner for passasjer på innenlands ruter</i>	11
2.3	<i>Framskrivingene og 95% konfidensintervaller</i>	12
2.4	<i>Grenseverdiene for $S(\%)$ og $MM(\%)$</i>	13
2.5	<i>Observerte dataene og framskrivinger for sesongjusterte tall, trend og den sesongkomponenten</i>	17
3.1	<i>Intervensjoner for passasjer på innenlands ruter</i>	20
3.2	<i>Framskrivingene og 95% konfidensintervaller</i>	21
3.3	<i>Observerte dataene og framskrivinger for sesongjusterte tall, trend og den sesongkomponenten</i>	25
4.1	<i>Rådataene av oktober og november</i>	27
4.2	<i>Ukedagseffekter</i>	28
4.3	<i>Intervensjoner for passasjer på charter utlandet</i>	28
4.4	<i>Framskrivingene og 95% konfidensintervaller</i>	29
4.5	<i>Intervensjoner for passasjer på charter utlandet</i>	32
4.6	<i>Ukedagseffekter</i>	33
4.7	<i>Intervensjoner for passasjer på charter utlandet</i>	34
4.8	<i>Framskrivingene og 95% konfidensintervaller</i>	34
4.9	<i>Kvalitetsmål</i>	35
4.10	<i>Observerte dataene og framskrivinger for sesongjusterte tall, trend og den sesongkomponenten for den additive modellen</i>	40
4.11	<i>Observerte dataene og framskrivinger for sesongjusterte tall, trend og den sesongkomponenten for den multiplikative modellen</i>	41
5.1	<i>Ukedagseffekter</i>	43
5.2	<i>Intervensjoner</i>	44
5.3	<i>Framskrivingene og 95% konfidensintervaller</i>	45
5.4	<i>Observerte dataene og framskrivinger for sesongjusterte tall, trend og den sesongkomponenten</i>	49
6.1	<i>Ukedagseffekter</i>	52
6.2	<i>Intervensjoner</i>	52
6.3	<i>Framskrivingene og 95% konfidensintervaller</i>	53
6.4	<i>Observerte dataene og framskrivinger for sesongjusterte tall, trend og den sesongkomponenten</i>	57
7.1	<i>Resultater fra sesongjustering ved to metoder</i>	59
7.2	<i>Intervensjoner</i>	60

7.3	<i>Framskrivningene og 95% konfidensintervaller</i>	60
7.4	<i>Observerte dataene og framskrivinger for sesongjusterte tall, trend og den sesongkomponenten</i>	65
8.1	<i>Modell for sesongjustering</i>	66
8.2	<i>ARIMA modell</i>	67
8.3	<i>Kalendereffekter på 5% nivå</i>	67
8.4	<i>Intervensjoner</i>	67
8.5	<i>F-testene på 5% nivå</i>	68
8.6	<i>Sliding spans analysen</i>	68

Kapittel 1

Innledning

Vi sesongjusterer en tidsserie O_t for å publisere to nye tidsserier, som vi kaller S_t og A_t , der S_t beskriver sesongvariasjoner, mens A_t er den tidsserien som ikke er påvirket av S_t . Vi beskriver O_t på formen

$$\begin{aligned} O_t &= S_t + A_t && \text{for additiv modell} \\ &= S_t \times A_t && \text{for multiplikativ modell} \end{aligned} \quad (1.1)$$

vi kaller S_t for sesongkomponent og A_t for sesongjusterte tall. Trenden T_t beregnes ved å glatte de sesongjusterte tallene. Restleddene ($A_t - T_t$ for den additive modellen og A_t/T_t for den multiplikative modellen) kaller vi den irregulære komponenten I_t . Dermed blir man ikke forvirret av sesongvariasjoner ved bruk av T_t for å betrakte den langsiktige utviklingen av rådataene.

Det er mange grunner som fører til sesongvariasjoner i en tidsserie

- **Kalendereffekter.** Faste helligdager som 17. mai, julitagene, og varierende helligdager som påske eller pinse. Ukedagseffekter som skyldes ulike antall ukedager i samme måned fra år til år, er også en faktor til som bidrar til sesongvariasjoner.
- **Ferier.** For luftfartstatistikken vil i tillegg faktorer som høstferie og sommerferie medføre endringer i antall passasjerer.
- **Været.** Endringene av temperatur, nedbør påvirker direkte eller indirekte transportutviklingen.

Det kan være flere årsaker til sesongvariasjoner i dataene. Sesongkomponenten er en tidsserie med regelmessige variasjoner som gjentar seg på samme tidspunkt hvert år, med nesten samme størrelse, kan forklares og estimeres. Det er mange tidsserier, der man er interessert i trend og sesongjusterte tall. Men for planlegging er sesongkomponenten en viktig størrelse.

I dette notatet beskriver vi resultater fra sesongjustering og forslag til implementering for antall passasjerer og flybevegelser summert over alle lufthavner, fordelt på

- innenlands ruter
- utenlands ruter
- utenlands charter

Det er i alt 6 tidsserier som skal analyseres. Resultater fra sesongjustering for hver tidsserie presenteres i et eget kapittel. Dataene er månedstall og observert fra januar 1982 til august 2000 (224 observasjoner) for passasjerer og fra januar 1989 til desember 1999 (132 observasjoner) for flybevegelser. I beregningen bruker vi X-12-ARIMA som er utviklet av US Census. Programmet har vært brukt i SSB siden 1998 for sesongjustering. Det finnes en versjon av programmet i SAS som kalles ved PROC X12. Fordelen ved bruk av prosedyren i SAS er at man kan lagre dataene og sesongjustere tidsseriene i samme program. Men vi bruker ikke denne prosedyren i analysen på grunn av at PROC X12 er basert på en beta versjon 0.2.5 av X-12-ARIMA. Det mangler også en rutine for korrigering for effektene for påske og intervensioner, hvor disse effektene kan påvirke tidsseriene i luftfartstatistikk. Vi bruker X-12-ARIMA som ikke er versjonen i SAS, for analysen, siden det er flere opsjoner for prekorrigering samt å kunne velge lengden til filter på forhånd. Manualen er skrevet mye mer detaljert enn den i SAS. Dessuten er programmet rettet for feil etter versjon 0.2.5.

Vi vil bruke mest figurer for å illustrere resultatene. Vi plotter med forskjellige skalaer for de tre tidsseriene. Vi velger verdiene på y -aksen for innenlands ruter fra 0 til 2 millioner, mens for utenlands rute er fra 0 til 800000 og for utenlands charter fra 0 til 350000. Ved å plotte i samme skala for disse tidsseriene, får vi et riktig bilde av variasjoner mellom dem, men fordi vi analyserer dem hver for seg, er dette ikke nødvendig. Trenden og sesongjusterte tall plottes med samme skala som rådataene, men for sesongkomponenten vil vi velge verdiene på y -aksen slik at man kan se tydelige sesongvariasjoner. Framskrivingene er også viktige for luftfartstatistikken. Vi beskriver dem i tabellene og figurene.

Effektene av ukedager, påske og intervensioner må korrigeres hvis testene viser en signifikans, før vi spalter opp tidsserien i trend og sesongkomponent. Estimeringen av effektene utføres ved hjelp av en ARIMA modell. Modellen brukes også for å forlenge tidsserien til begge sider slik at de symmetriske brukes for hele tidsserien. Det er fem innebygde modeller i X-12-ARIMA (side 136 i X-12-ARIMA manualen).

$$\begin{aligned} &(0 \ 1 \ 1)(0 \ 1 \ 1) \\ &(0 \ 1 \ 2)(0 \ 1 \ 1) \\ &(2 \ 1 \ 0)(0 \ 1 \ 1) \\ &(0 \ 2 \ 2)(0 \ 1 \ 1) \\ &(2 \ 1 \ 2)(0 \ 1 \ 1) \end{aligned}$$

De tre kriterier for å velge en ARIMA modell er:

- (i) Gjennomsnittlig absolutt prognosefeil i prosent over de siste 3 årene er mindre eller lik 15%.
- (ii) χ^2 for testing om residualene er ukorrelerte, må ha p -verdi større enn 5%.
- (iii) Det er ingen tegn til "overdifferencing", dvs $\sum_i \theta_i > 0.9$.

Den første modellen som vi kaller air line modell, testes først. Hvis den ikke tilfredsstiller de tre kriteriene, blir den andre testet. Dersom alle fem modellene forkastes kan vi angi en bestemt ARIMA modell for programmet.

Påskeeffekt er effekten som påvirker data på grunn av påske. Siden disse helligdagene varierer fra år til år, fra 22. mars til 25. april, betrakter vi ikke effekten

som en sesongvariasjon. I estimeringen får vi en verdi \hat{d} , definert som antall dager før 1. påskedag som rådataene er påvirket av effekten. Når $d = 3$ er skjærtorsdag, langfredag, lørdag og 1. påskedag å betrakte som påskedagene. Siden påske ofte faller i april, vil vi ikke korrigere rådataene for effekten hvis påskedagene er i april. For eksempel, for passasjerer på innenlands rute som beskrives i kapittel 2, er $\hat{d} = 8$, blir rådataene i mars og april 1983, 1985, 1986, 1988, 1989, 1991, 1996 og 1999 korrigert. Merk at metoden for påskekorrigering ikke tar hensyn til de norske helligdagene.

Box and Tiao (1965) utviklet intervensionsanalyse for å studere tidsserier som er påvirket av eksterne begivenheter. For eksempel, flygelederstreik i juni 1998 (4-5 dager uten flytrafikk) reduserte antall passasjerer. Vi korrigerer også dataene for denne effekten. Metoden blir innført i X-12-ARIMA. Vi kan la programmet selv estimere tidspunkter, størrelser og typer fra dataene eller angi tidspunktene på forhånd, og estimere effekter.

For å kunne sesongjustere en tidsserie lager vi et program som inneholder mange kommandoer og opsjoner. For eksempel,

```
series{title"Antall passasjerer på innenlands ruter"
      start=1989.jan
      periode=12
      ...
      transform{function=auto}
      outlier{}
      ...}
```

I programmet lar vi X-12-ARIMA selv velger en modell for sesongjustering ved å basere på testen $AICC_{nolog} - AICC_{log} < \Delta_{AICC}$ for additiv modell, hvor $\Delta_{AICC} = -2$, hvor AIC er "Akaike's information criterion" og $AICC$ er "F corrected AIC". Vi kaller -2 en default verdi. Det er verdi som man har lagt inn i programmet og kan endres ved brukeren. Vi kan angi på forhånd $\Delta_{AICC} = -4$ for å ha en større avstand mellom additiv og multiplikativ modell. Den kommandoen **transform** ser slik ut

```
transform{function=auto
           aicdiff=-4}
```

Vi bruker default verdier i første kjøring for å velge en modell for sesongjustering og estimere effektene av ukedager, påske og intervensioner. Hvis resultater blir dårlig kjører vi programmet på nytt med endringer for default verdier.

Vi vurderer resultatene fra sesongjustering ved hjelp av sliding spans analyse (Findley et al 1990). Det er en ny teknikk som er brukt i X-12-ARIMA, men ikke i det tidligere programmet X-11-ARIMA. Vi får mer nøyaktige konklusjoner om hvor god en sesongjustering er enn ved de 11 kvalitetsmål i X-11-ARIMA.

Vi beskriver resultater fra sesongjustering for antall passasjerer på innenlands ruter, utenlands ruter og charter på utenlands ruter i kapitlene 2, 3 og 4 og for antall flybevegelser i kapitlene 6, 5 og 7. Kapittel 8 gir en oppsummering for de seks tidsseriene.

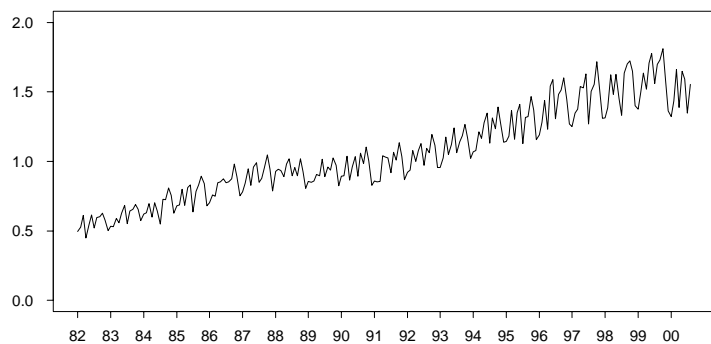
Jeg vil takke Leiv Solheim for gode kommentarer.

Kapittel 2

Passasjerer på ruter innenlands totalt

2.1 Innledning

Data er antall passasjerer som er summert over alle lufthavner på innenlands ruter. I alt er det 224 observasjoner fra januar 1982 til august 2000. Rådata er plottet i figur 2.1. Verdiene på y -aksen er i millioner. Den viser en klar trend med omtrent en tredobling fra 1982 til 2000.

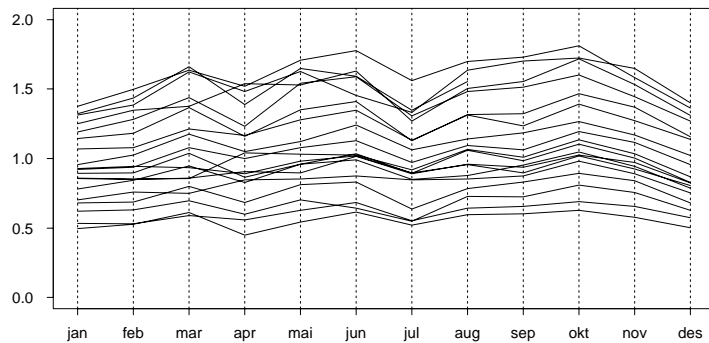


Figur 2.1: *Rådata av passasjerer på innenlands ruter (i million)*

En enkel metode for å sjekke sesongvariasjonen er å plotte rådataene for hvert år over hverandre. Det skal vise samme endringer fra år til år på et bestemt tidspunkt. Vi ser i figur 2.2 et klart sesongmønster i dataene med høye verdier i mars, juni, oktober og lave verdier i januar, juli, desember. Man kan også plotte autokorrelasjonsfunksjonen eller spektraltettheten for å finne sesongvariasjoner i data.

2.2 Resultater fra sesongjustering

Vi får følgende resultater



Figur 2.2: Rådata gjennom årene (i million)

- Modell for sesongjustering

Testen viser at multiplikativ modell passer best med dataene. Dette vil si at rådata O_t skrives ved

$$O_t = S_t \times T_t \times I_t$$

O_t og T_t har samme nivå, mens S_t og I_t beregnes i prosent.

- ARIMA modell

ARIMA (0 1 1)(0 1 1) er valgt, med

Par.	Estimert		
	Verdi	Std	
$\hat{\theta}$	0.6464	0.0523	sign. på 5% nivå
$\hat{\Theta}$	0.6583	0.0528	sign. på 5% nivå

Gjennomsnittlig absolutt prosent feil for framskrivinger:

siste år: 11.50, forrige år: 2.70, to år tidligere: 2.19
siste tre år: 5.46. Grenseverdien for siste tre år er 15%.

Vi ser at de tre kriteriene for å velge en ARIMA modell, er tilfredsstilt. Ved hjep av en ARIMA modell kan vi forlenge tidsserien til begge sider, slik at de symmetriske vektene kan brukes for hele serien.

- Kalendereffekter

Det er to effekter som påvirker dataene

- Ukedagseffekter som skyldes ulike antall dager i samme måned fra år til år. Testen viser at dataene ikke er påvirket av denne effekten.
- Påskeeffekt som påvirker dataene på grunn av påske. Siden disse heldagene varierer fra år til år, fra 22 mars til 25 april, betrakter vi ikke effekten som en sesongvariasjon. Testen viser at effekten er signifikant på

5% nivå, med t -verdi er -11.61. Tabel 2.1 viser datoene til 1. påskedag fra 1982 til 2001. Basert på dataene estimerer X-12-ARIMA også antall dager d før 1. påskedag som er påvirket av effekten. Vi får $\hat{d} = 8$. Dermed er dataene av 1983, 1985, 1986, 1988, 1989, 1991, 1994, 1996, 1999 korrigert for påskeeffekten.

Påskeeffekten må fjernes før vi kan utføre en sesongjustering.

Tabell 2.1: *Datoene til 1. påskedag fra 1982 til 2001*

år	mars	april	år	mars	april
1982		11.	1992		19.
1983		3.	1993		11.
1984		22.	1994		3.
1985		7.	1995		16.
1986	30.		1996		7.
1987		19.	1997	30.	
1988		3.	1998		12.
1989	26.		1999		4.
1990		15.	2000		23.
1991	31.		2001		15.

- Intervensjoner

Det er spesielle begivenheter som påvirker rådataene, for eksempel streik. Effekten kan bifra til endringer i trend og sesongjusterte tall, og må også fjernes før sesongjustering. ARIMA modellen blir bedre tilpasset med dataene slik at vi får bedre framskrivinger. I manualen X-12-ARIMA finner man forklaringer for intervensjoner (se side 144). Tidspunktene, typene og størrelsene er vist i tabell 2.2, den kritiske verdien for å identifisere ekstremverdier velges selv av programmet og er avhengig av lengden til tidsserien (se tabell 6.23 side 145, i manualen).

Tabell 2.2: *Intervensjoner for passasjer på innenlands ruter*

år	måned	type	est.verdi	std	t
1984	juni	AO	-0.1571	0.0316	-4.97
1984	juli	AO	-0.1736	0.0322	-5.39
1985	juli	AO	-0.1415	0.0314	-4.50
1998	juni	AO	-0.1494	0.0311	-4.80

Forklaringen for juni 1998 er flygelederstreik som medførte 4-5 dager uten flytrafikk.

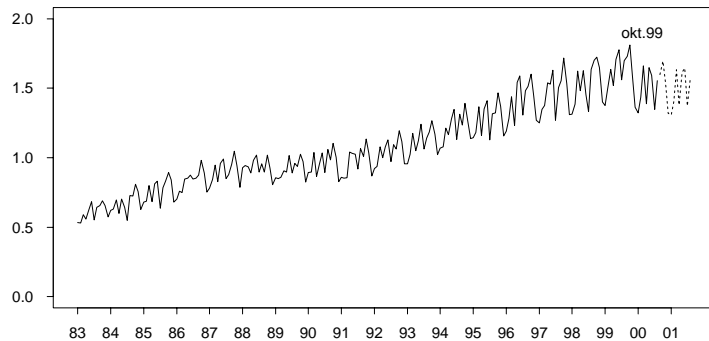
- Framskrivninger

beregnes fra ARIMA (0 1 1)(0 1 1) med hensyn til effektene av ukedager, påske og intervensjoner. De estimerte verdiene og 95% konfidensintervaller er listet i tabell 2.3

Tabell 2.3: *Framskrivingene og 95% konfidensintervaller*

år	måned	nedre	framsk.	øvre
2000	september	1486281	1598316	1718796
	oktober	1568708	1694404	1830171
	november	1416776	1536687	1666747
	desember	1212794	1320664	1438129
2001	januar	1196726	1308111	1429864
	februar	1278316	1402379	1538484
	mars	1482459	1632331	1797355
	april	1247469	1378187	1522603
	mai	1457153	1614847	1789607
	juni	1478650	1644206	1828298
	juli	1231667	1373491	1531645
	august	1410287	1577380	1764270

Rådataene og framskrivingene (stiplet linje) er plottet i figur 2.3. Vi ser at trenden går ned. Oktober 1999 kan være et vendepunkt for passasjerer på innenlands ruter.

Figur 2.3: *Rådata og framskrivinger (i million)*

- Tester for sesongmønster og sesongbevegelser

F -testene viser at sesongmønster er signifikant på 1% nivå, med $F = 147.24$. Det er ingen tegn til signifikans for sesongbevegelser med samme nivå, $F = 1.44$. Dette viser at sesongmønsteret er stabilt.

- Kvalitetsmål og sliding spans

brukes for å vurdere hvor god en sesongjustering er. De 11 målene $M1-M11$ og Q (veiet gjennomsnitt av $M1-M11$) er gitt i nedenfor tabell.

$M1$	$M2$	$M3$	$M4$	$M5$	$M6$
0.384	0.320	0.776	0.679	0.664	0.303
$M7$	$M8$	$M9$	$M10$	$M11$	Q
0.196	0.420	0.162	0.367	0.352	0.414

Vi får lave verdier (< 1) for M_i og Q .

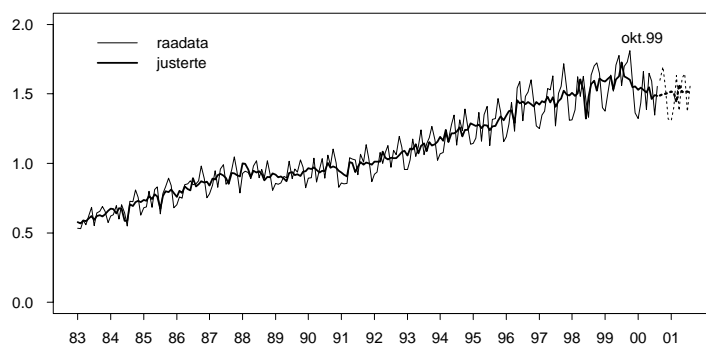
Sliding spans (Findley et al. 1990) er utført for fire delmengder delvis overlappende [jan.1989, aug.1997], [jan.1990, aug.1998], [jan.1991, aug.1999] og [jan. 1992, aug.2000]. Dataene av disse mengdene er kopiert fra de observasjonene, og sesongjusteres med prekorrigeringen for effektene av ukedager, påske og intervensioner lik som den opprinnelige tidsserien. Vi får $S(\%) = 3.4$, $MM(\%) = 8.7$ og $YY(\%) = 0.0$. Disse tallene er mye lavere enn grenseverdier for en dårlig sesongjustering. Det vil si vi får lave endringer for trenden, og sesongjusterte tall når nye observasjoner tilføyes. Grenseverdiene for $S(\%)$, $MM(\%)$ og $YY(\%)$ er gitt i tabell 2.4.

Tabell 2.4: Grenseverdiene for $S(\%)$ og $MM(\%)$

$S(\%)$	$MM(\%)$	Konklusjon
$S(\%) \leq 15$	$MM(\%) \leq 40$	god sesongjustering
$15 < S(\%) \leq 25$	$MM(\%) \leq 40$	mindre god sesongjustering
$S(\%) > 25$	$MM(\%) > 40$	dårlig sesongjustering

- Figurer

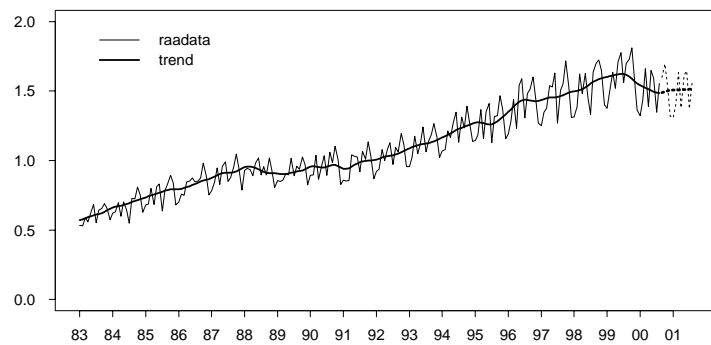
Figur 2.4 og 2.5 viser sesongjusterte tall og trend samt rådataene fra 1983 til 2001, med framskrivinger som stiplet linje.



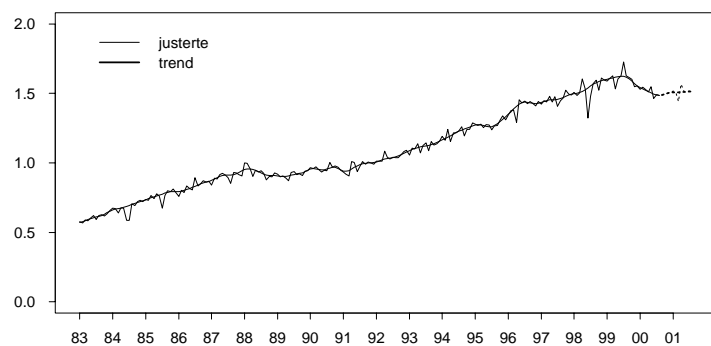
Figur 2.4: Rådata og sesongjusterte tall (i million), fra 1983 til 2001

Grunnen til at vi plottet tallene fra 1983 til 2001, men ikke fra 1982 til 2001, er at vi vil beholde samme skala i alle figurer.

Sesongjusterte tallene og trenden er plottet i figur 2.6. Vi ser at tallene i de siste månedene, fra ca oktober 1999, gikk ned. Men framskrivingene viser en svak økning fra september 2000.

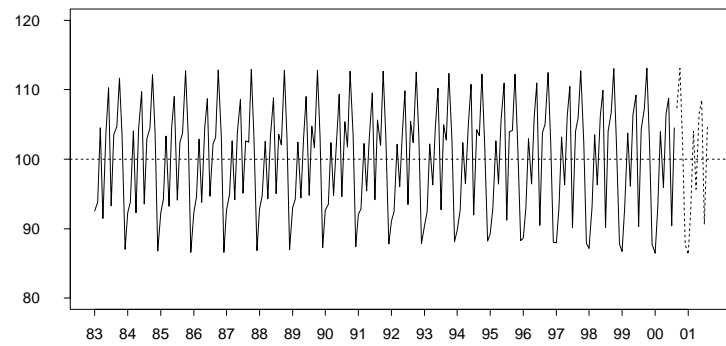


Figur 2.5: Rådata og trend (i million), fra 1983 til 2001



Figur 2.6: Sesongjusterte tall og trend (i million), fra 1983 til 2001

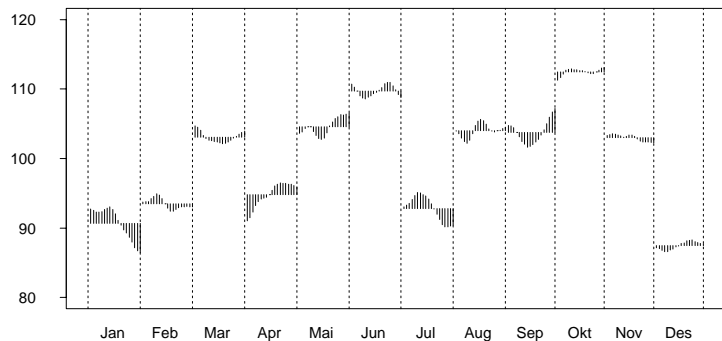
Sesongkomponenten og framskrivingen er vist i figur 2.7. Det viser et stabilt sesongmønster.



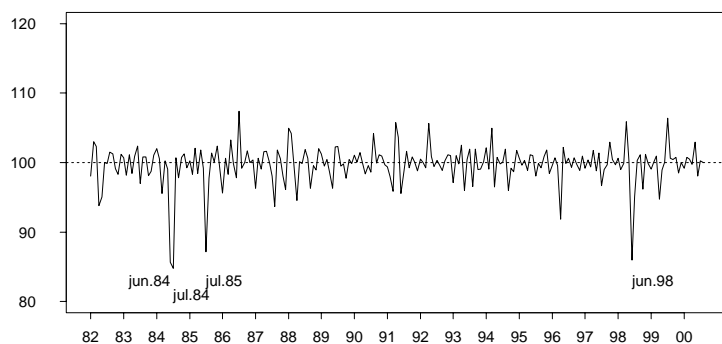
Figur 2.7: Sesongkomponent i prosent, fra 1983 til 2001

For å ha et mer detaljert bilde av sesongvariasjoner gjennom årene for hver enkelt måned, plotter vi på følgende måte:

La i stå for måned og j stå for år, for størrelsen $\Delta_{i,j}^S$. For eksempel, for



Figur 2.8: Sesongkomponent i prosent



Figur 2.9: Den irregulære komponenten i prosent

januar 1982, definerer vi $\Delta_{jan.82}^S$ slik

$$\begin{aligned}\Delta_{jan.82}^S &= S_{jan.82} - \bar{S}_{jan} \\ &= S_{jan.82} - \frac{1}{19}(S_{jan.82} + S_{jan.83} + \dots + S_{jan.00})\end{aligned}$$

hvor $S_{jan.82}$ er sesongkomponenten for januar 1982. Dvs, $\Delta_{jan.82}^S$ er avviket av sesongkomponenten i januar 1982 i forhold til gjennomsnittet for alle sesongkomponentene for januar i tidsserien. Vi beregner på tilsvarende måte for de andre $\Delta_{i,j}^S$, hvor $i=\text{januar}, \dots, \text{desember}$, og $j=1982, \dots, 2000$. Figur 2.8 viser $\Delta_{i,j}^S$ for 12 måneder.

Den irregulære komponenten I_t er plottet i figur 2.9. Testen viser at den er en hvit støy prosess. Vi ser at I_t varierer rundt 100%, bortsett fra tidspunktene hvor intervensioner har forekommert.

2.3 Oppsummering

Rådataene viser en nedgang i en kort periode etter oktober 1999. Det kan være en sammenheng med Color Air gikk konkurs i september 1999, ruteinnskrenkinger SAS og Braathens i desember 1999 og omlegging av

seteavgift til passasjeravgift som medfører redusert flytrafikk. Ved å la X-12-ARIMA velge selv verdi for å estimere intervensioner, får vi bare ekstremverdier som er listet ut i tabell 2.2. Dette betyr at hverken konkursen av Color Air eller økningen av seteavgift fører til signifikant endring i trenden.

Tabell 2.5 viser de observerte dataene og framskrivingene for sesongjusterte tall, trend og sesongkomponenten (i prosent), fra september 1999 til august 2001. Det viser en svak økning i trenden. Dessuten får vi ganske stabile sesongvariasjoner. Figur 2.8 viser at oktober har høyest og desember har lavest sesong for passasjerer i innenlands ruter.

2.4 Program

Vi bruker X-12-ARIMA for sesongjustering. Programmet beskrives slik

```

series{title="Passasjerer i innenlandsruter"
       start=1982.1          # dato til den første observasjon
       period=12             # månedstall
       file="p_innenland.dat" # filnavn
       decimals=0}            # antall desimaler
transform{function=auto           # å teste M eller A modell
          savelog=autotransform}   # resultatet listes ut i en fil
regression{aictest=(td easter)    # regresjonsanalyse mht td og easter
           savelog=aictest}        # resultatet listes ut i en fil
automdl{file="my.mdl"            # filen som inneholder 5 ARIMA modeller
        identify=all           # velger en av de fem
        savelog=automodel}      # resultatet listes ut i en fil
forecast{save=(fct)}             # beregning for framskrivinger
outlier{}                         # estimering for intervensioner
estimate{maxiter=1000}            # max antall iterasjoner er 1000
x11{savelog=(m1 m2 m3 m4 m5 m6 m7 m8 m9 m10 m11 q)} # 11 tester
print=all
save=(d10 d11 d12 d13)} # skriver ut  $S_t$ ,  $A_t$ ,  $T_t$  og  $I_t$ 
slidingspans{additivesa=percent outlier=keep
            print=all
            savelog=percent}
history{} # revisjoner for sesongjusterte tall

```

Tabell 2.5: Observerte dataene og framskrivinger for sesongjusterte tall, trend og den sesongkomponenten

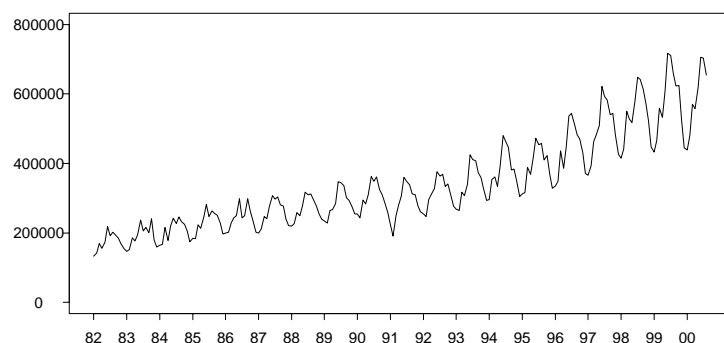
Observerte data				Framskrivinger							
mnd	år	rådata	justerte	mnd	år	rådata	justerte				
sep.	1999	1728664	1612531	1605581	107.20	2000	1598316	1487880	1489709	107.40	
okt.	1999	1809592	1600393	1588886	113.07	okt.	2000	1694404	1498152	1495696	113.10
nov.	1999	1581909	1546685	1569979	102.28	nov.	2000	1536688	1501654	1501602	102.30
des.	1999	1363312	1553775	1553628	87.74	des.	2000	1320665	1506532	1505591	87.70
jan.	2000	1321823	1528382	1541368	86.49	jan.	2001	1308112	1514992	1507109	86.30
feb.	2000	1435639	1543310	1531882	93.02	feb.	2001	1402380	1507339	1507937	93.00
mar.	2000	1659225	1530526	1523197	103.96	mar.	2001	1632332	1441919	1508243	104.10
apr.	2000	1389108	1510172	1513533	95.92	apr.	2001	1378187	1565329	1508907	95.70
mai.	2000	1647873	1547530	1502967	106.48	mai.	2001	1614848	1514768	1510147	106.60
jun.	2000	1593137	1464439	1493355	108.79	jun.	2001	1644207	1515285	1511584	108.50
jul.	2000	1348091	1490801	1487412	90.43	jul.	2001	1373491	1516760	1512675	90.60
aug.	2000	1553203	1486283	1486199	104.50	aug.	2001	1577380	1507704	1513789	104.60

Kapittel 3

Passasjerer på ruter utenlands totalt

3.1 Innledning

Data er antall passasjerer som er summert over alle lufthavner på utenlands ruter, fra januar 1982 til august 2000. I alt er det 224 observasjoner. Dataene er plottet i figur 3.1. Den viser en økning i trenden og et klart sesongmønster. Merk at de to figurene 2.1 og 3.1 er med forskjellig skala. Verdiene på y -aksen for innenlands ruter varierer fra 0 til 2 millioner, mens for utenlands ruter er fra 0 til 800000. For å kunne sammenligne endringer i rådataene av disse to tidsseriene, bruker vi figur 3.2. Vi ser at det er en svakere økning i trenden for utenlands ruter. Bortsett fra figur 3.2 vil vi bruke skalaen fra 0 til 800000 for utenlands ruter. Rådataene av 12 måneder gjennom årene er plottet i figur 3.3. Den viser at det eksisterer sesongvariasjoner i dataene. Juni er måneden som har høyest sesongkomponent.

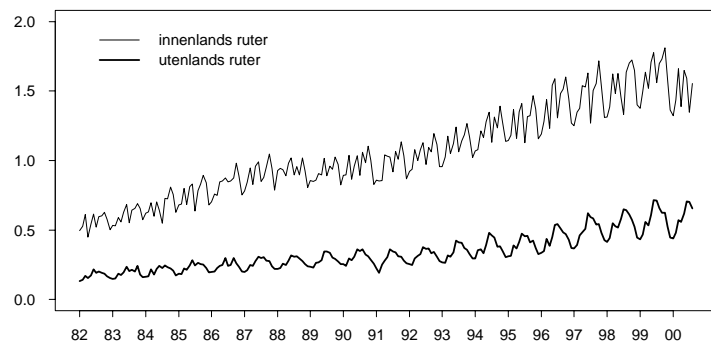


Figur 3.1: *Rådata av passasjerer på utenlands ruter*

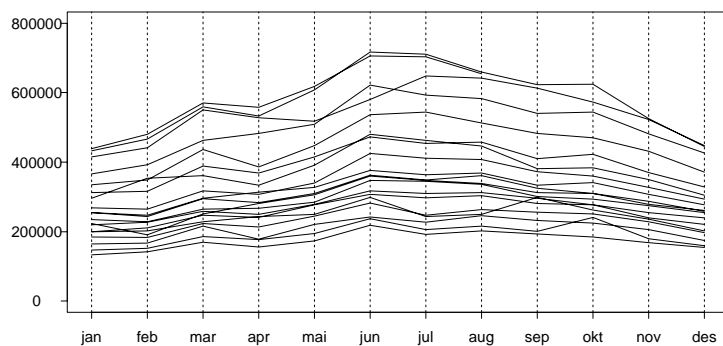
Vi lar programmet selv prekorrigere for ukedagseffekter, påskeeffekt og intervensjoner, når testen viser signifikante effekter.

3.2 Resultater fra sesongjustering

Vi får følgende resultater



Figur 3.2: *Rådata av passasjerer på innenlands og utenlands ruter (i million)*



Figur 3.3: *Rådata av passasjerer på utenlands ruter*

- Modell for sesongjustering

Sesongjusteringen skal utføre med den multiplikative modellen ($O_t = S_t \times T_t \times I_t$). Merk at O_t og T_t har samme nivå, mens S_t og I_t beregnes i prosent.

- ARIMA modell

ARIMA (0 1 1)(0 1 1) er valgt, med

Par.	Estimert		
	Verdi	Std	
$\hat{\theta}$	0.6866	0.0500	sign. på 5% nivå
$\hat{\Theta}$	0.6207	0.0575	sign. på 5% nivå

Gjennomsnittlig absolutt prosent feil for framskrivinger:

siste år: 6.55, forrige år: 3.37, to år tidligere: 2.52
siste tre år: 4.14. Grenseverdien for siste tre år er 15%.

Vi ser at de tre kriteriene for å velge en ARIMA modell, er tilfredsstilt. Denne modellen brukes for å forlenge tidsserien.

- Kalendereffekter

Vi får ikke signifikante effekter for ukedager.

For påskeeffekten er det en signifikans på 5% nivå ($t = -5.08$). Beregningen viser at $\hat{d} = 1$. De observerte dataene i mars 1986, 1989, 1991 og 1997 blir korrigert opp med faktoren 0.96, mens apriltallene justeres ned med størrelsen 1.04.

- Intervensjoner

Tidspunktene, typene og størrelsene for intervensioner er listet ut i tabell 3.1. Verdien for å identifisere intervensioner velges av programmet.

Tabell 3.1: *Intervensjoner for passasjer på innenlands ruter*

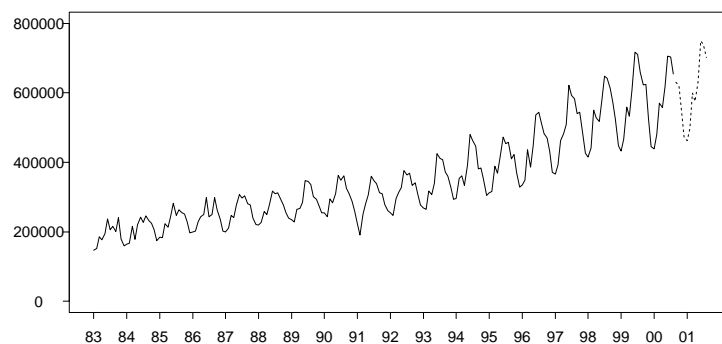
år	måned	type	est.verdi	std	t
1983	oktober	AO	0.1822	0.0301	6.05
1986	september	AO	0.1493	0.0290	5.14
1991	januar	LS	-0.1237	0.0239	-5.17
1991	februar	AO	-0.1750	0.0302	-5.79
1994	februar	AO	0.1766	0.0290	6.07
1998	juni	AO	-0.1404	0.0294	-4.77

Forklaringen for januar 1991 er gulfkrigen, februar 1994 er Vinter Olympiadens og juni 1998 er flygelederstreik som medfører 4-5 dager uten flytrafikk.

- Framskrivinger

beregnes med ARIMA (0 1 1)(0 1 1) med prekorrigering for effektene av påske og intervensioner. De estimerte verdiene og 95% konfidensintervaller er listet ut i tabell 3.2.

Rådataene og framskrivinger (stiplet linje) er plottet i figur 3.4.



Figur 3.4: *Rådata og framskrivinger*

Tabell 3.2: *Framskrivingene og 95% konfidensintervaller*

år	måned	nedre	framsk.	øvre
2000	september	588819	630760	675689
	oktober	577649	620838	667256
	november	506329	545904	588573
	desember	435220	470660	508985
2001	januar	426559	462638	501770
	februar	456053	496025	539500
	mars	549688	599505	653836
	april	525724	574882	628636
	mai	577093	632660	693578
	juni	682247	749952	824375
	juli	671024	739265	814445
	august	635748	702063	775295

Det er en økning i trenden.

- Tester for sesongmønster og sesongbevegelser

F testene viser at sesongmønsteret er signifikant på 1% nivå, $F = 393.58$. Det er ikke signifikant for sesongbevegelser på 5% nivå, $F = 1.40$. Vi får et ganske stabilt sesongmønster.

- Kvalitetsmål og sliding spans

De 11 målene $M1-M11$ og Q (veiet gjennomsnitt av $M1-M11$) er gitt i nedenfor tabell.

$M1$	$M2$	$M3$	$M4$	$M5$	$M6$
0.071	0.088	0.538	0.309	0.569	0.083
<hr/>					
$M7$	$M8$	$M9$	$M10$	$M11$	Q
0.119	0.271	0.094	0.271	0.259	0.234

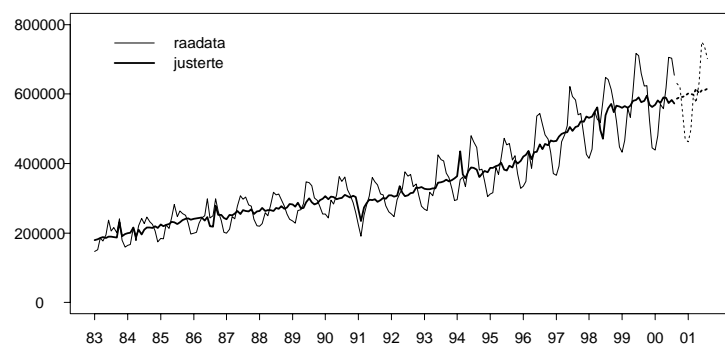
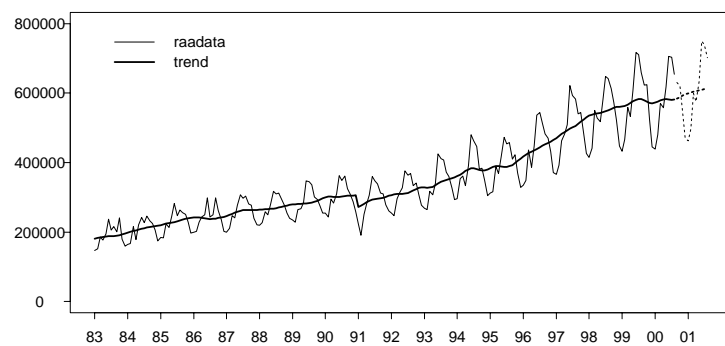
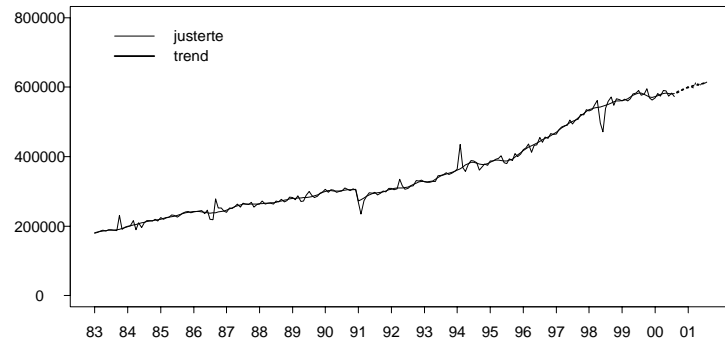
Verdiene av M_i og Q er lave.

Vi får $S(\%) = 0.0$, $MM(\%) = 0.0$ og $YY(\%) = 0.0$. Tallene viser en god sesongjustering

- Figurer

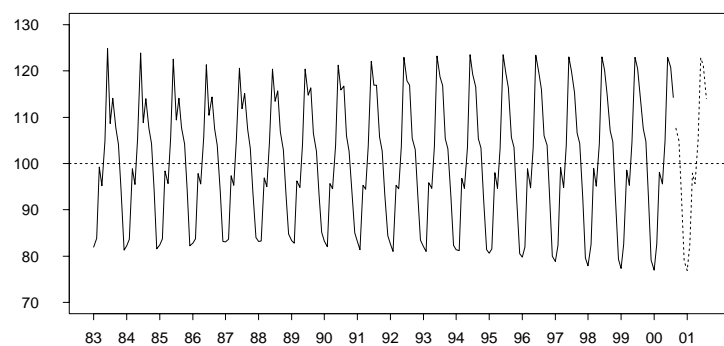
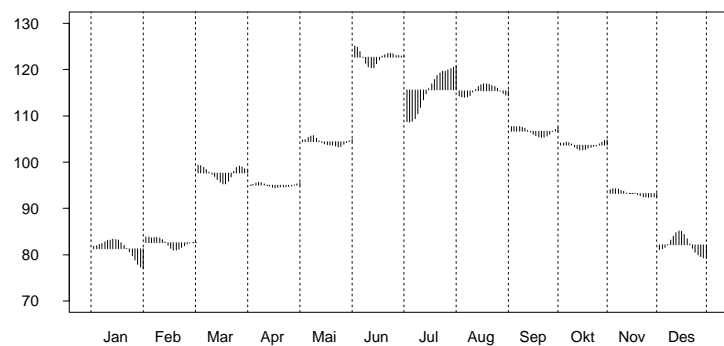
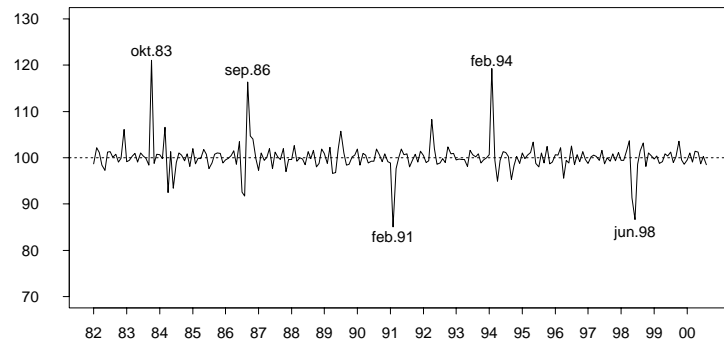
Vi har følgende figurer

- figur 3.5 for rådataene og sesongjusterte tall, fra 1983 til 2001
- figur 3.6 for rådataene og trend, fra 1983 til 2001
- figur 3.7 for sesongjusterte tall og trend, fra 1983 til 2001
- figur 3.8 for sesongkomponent (i prosent), fra 1983 til 2001
- figur 3.9 for sesongkomponent (i prosent) gjennom årene, for hver måned
- figur 3.10 for irregulærkomponent (i prosent)

Figur 3.5: *Rådata og sesongjusterte tall, fra 1983 til 2001*Figur 3.6: *Rådata og trend, fra 1983 til 2001*Figur 3.7: *Sesongjusterte tall og trend(i million), fra 1983 til 2001*

3.3 Oppsummering

Vi får en god sesongjustering for paasasjerer på utenlands ruter. Testen og figur 3.8 viser at sesongkomponenten er ganske stabil og den varierer fra 70 til 130%. Juni er den måneden som har høyest sesong, mens januar og desember er de to månedene som har færreste passasjerer i året. Vi ser også at juni og juli har omtrent like høy sesong i de siste årene. Figur 3.7 viser en jevn økning i trenden

Figur 3.8: *Sesongkomponent (i prosent), fra 1983 til 2001*Figur 3.9: *Sesongkomponent (i prosent)*Figur 3.10: *Irregulærkomponent (i prosent)*

for utenlands ruter.

Tabell 3.3 viser rådataene, sesongjusterte tall, trend og den sesongkomponenten i de siste 12 månedene, samt deres framskrivinger.

3.4 Program

Programmet beskrives slik

```

series{title="Passasjerer i utenlandsruter"
  start=1982.1          # dato til den første observasjon
  period=12             # månedstall
  file="p_utenland.dat" # filnavn
  decimals=0            # antall desimaler
}
transform{function=auto      # å teste M eller A modell
  savelog=autotransform # resultatet listes ut i en fil
}
regression{aictest=(td easter) # regresjonsanalyse mht td og easter
  savelog=aictest       # resultatet listes ut i en fil
}
automdl{file="my.mdl"      # filen som inneholder 5 ARIMA modeller
  identify=all          # velger en av de fem
  savelog=automodel    # resultatet listes ut i en fil
}
forecast{save=(fct)}      # beregning for framskrivinger
outlier{ }                 # estimering for intervensioner
estimate{maxiter=1000}    # max antall iterasjoner er 1000
x11{savelog=(m1 m2 m3 m4 m5 m6 m7 m8 m9 m10 m11 q) # 11 tester
  print=all
  save=(d10 d11 d12 d13) # skriver ut  $S_t$ ,  $A_t$ ,  $T_t$  og  $I_t$ 
}
slidingspans{additivesa=percent outlier=keep
  print=all
  savelog=percent
}
history{ }                # revisjoner for sesongjusterte tall

```

Tabell 3.3: Observerte dataene og framskrivinger for sesongjusterte tall, trend og den sesongkomponenten

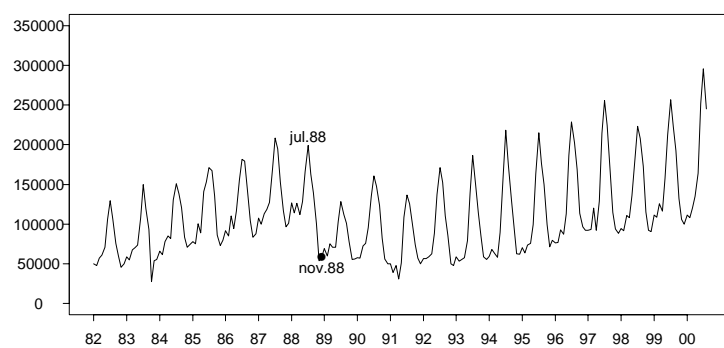
mond	år	Observerte data				mond	år	Framskrivinger			
		rådata	justerete	trend	sek.%			rådata	justerte	trend	sek.%
sep.	1999	623387	580073	579132	107.47	sep.	2000	630761	586183	583902	107.6
okt.	1999	624001	595432	574872	104.80	okt.	2000	620839	591962	587709	104.9
nov.	1999	525597	568567	571493	92.44	nov.	2000	545905	591075	592344	92.4
des.	1999	445389	562738	570624	79.15	des.	2000	470660	595692	596434	79.0
jan.	2000	438612	569587	572263	77.01	jan.	2001	462639	601637	599554	76.9
feb.	2000	480288	581599	575732	82.58	feb.	2001	496025	600431	601891	82.6
mar.	2000	570055	573675	579329	98.16	mar.	2001	599506	597552	603663	97.9
apr.	2000	557382	590108	581733	95.61	apr.	2001	574882	615455	605460	95.7
mai.	2000	618031	589102	582247	104.91	mai.	2001	632661	601816	607253	105.1
jun.	2000	705285	573925	581423	122.89	jun.	2001	749952	610988	609182	122.8
Jul.	2000	703103	582314	580713	120.74	Jul.	2001	739265	610643	611110	121.1
aug.	2000	654592	572820	581434	114.28	aug.	2001	702063	615604	612978	114.0

Kapittel 4

Passasjerer på charter utlandet totalt

4.1 Innledning

Dataene er antall passasjerer summert over alle lufthavner på utenlands charter. Tidsserien er observert fra januar 1982 til august 2000. I alt er det 224 observasjoner. Rådataene er plottet i figur 4.1. Det er et klart sesongmønster. Dataene har en regelmessig variasjon i perioden fra januar 1982 fram til oktober 1988. Juli er måneden med de fleste passasjerene. Tabell 4.1 viser rådataene for juli, august, september, oktober og november 1988 samt deres gjennomsnitter i to periodene [1982-1987] og [1989-1999]. Vi ser at tallet i november 1988 er ganske lavt. Endringen fra oktober til november 1988 er stor med -46648 passasjerer, mens gjennomsnittlige endringer fra oktober til november i [1982-1987] er -9154 og [1989-1999] er -25112. Kurven for hele tidsserien ser ut som den kan deles i to. Den første inneholder observasjonene fram til oktober 1988 og den andre starter fra november 1988 med lavere nivå. Figur 4.2 viser rådataene plottet for 12 måneder. Juni, juli, august og september har store sesongvariasjoner.

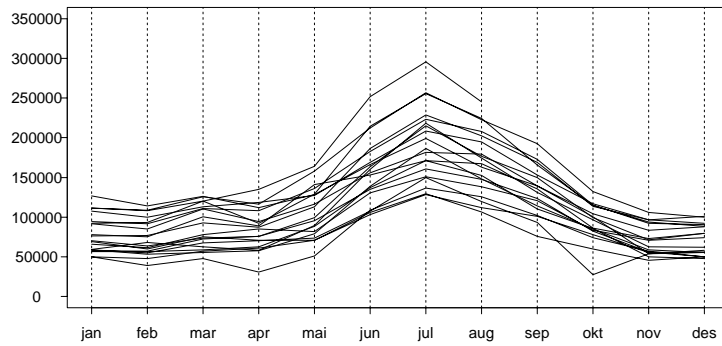


Figur 4.1: *Rådata av passasjerer på charter utlandet*

Testen viser at den additive modellen $O_t = T_t + S_t + I_t$ passer best med dataene, men vi vil også presentere resultater fra sesongjustering med den multiplikative modellen, $O_t = T_t \times S_t \times I_t$.

Tabell 4.1: Rådataene av oktober og november

måned	Gjennomsnitt		
	1988	1982-87	1989-99
juli	198903	165338	198324
august	162789	150932	172198
september	139644	119720	139245
oktober	100491	79744	97984
november	53843	70590	72872
diff.(aug,jul)	-36114	-14406	-26126
diff.(sep,aug)	-23145	-31212	-32953
diff.(okt,sep)	-39153	-39976	-41261
diff.(nov,okt)	-46648	-9154	-25112



Figur 4.2: Rådata gjennom årene, over 12 måneder

4.2 Sesongjustering med additiv modell

Vi får følgende resultater

- ARIMA modell

ARIMA (0 1 1)(0 1 1) er valgt, med

Par.	Estimert		
	Verdi	Std	
θ	-0.0905	0.0684	ikke sign. på 5% nivå
$\hat{\Theta}$	0.4724	0.0630	sign. på 5% nivå

Gjennomsnittlig absolutt prosent feil for framskrivinger:

siste år: 6.13, forrige år: 10.65, to år tidligere: 18.35
siste tre år: 11.71. Grenseverdien for siste tre år er 15%.

Vi ser at $\hat{\theta}$ ikke er signifikant på 5% nivå. Ved å fjerne θ fra modellen, får vi en dårligere tilpasning. Vi har også prøvd med flere ARIMA modeller, men det gir ikke bedre resultater. Vi aksepterer derfor ARIMA (0 1 1)(0 1 1) for dataene. De tre kriteriene for å velge en ARIMA modell, er tilfredsstilt.

- Kalendereffekter

Vi får signifikante effekter for ukedager, med $\chi^2 = 114.07$, og 6 frihetsgrader. Vektene for ukedager er listet ut i tabell 4.2. Det er signifikante for tirsdagen, lørdagen og søndagen på 5% nivå. En tolkning er at tirsdagen har færre passasjerer, mens lørdagen og søndagen har de største passasjerertallene i uka.

Tabell 4.2: *Ukedagseffekter*

	effekt	std	t-verdi
mandag	-668.74	675.00	-0.99
tirsdag	-1994.64	701.39	-2.84
onsdag	-980.95	674.38	-1.45
torsdag	-718.96	674.96	-1.07
fredag	421.40	716.33	0.59
lørdag	1640.42	677.73	2.42
søndag	2301.48	697.09	3.30

Påskeeffekten er signifikant på 5% nivå, $t = 4.70$.

- Intervensjoner

Tidspunktene, typene og størrelsene av intervensioner er vist i tabell 4.3.

Tabell 4.3: *Intervensjoner for passasjer på charter utlandet*

år	måned	type	est.verdi	std	t
1983	oktober	AO	-43592	4848	-8.99
1985	mai	AO	37484	4721	7.94

Disse to tidspunktene er svært signifikante.

- Framskrivinger

Framskrivingene og deres 95% konfidensintervaller er listet ut i tabell 4.4. Den siste kolonnen viser framskrivingene som blir korrigert for effektene av ukedager og påske i år 2001.

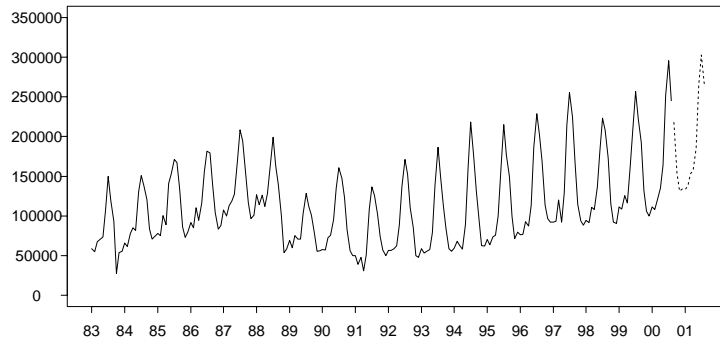
Rådataene og framskrivinger er plottet i figur 4.3. Vi ser en økning i treneden.

- Tester for sesongmønster og sesongbevegelser

F-testene viser at sesongmønsteret er signifikant på 5% nivå. Vi har også en signifikans på samme nivå for sesongbevegelser. Dette viser en ustabil sesongkomponent og sesongjusteringen kan bli dårlig. Vi får store revisjoner for sesongjusterte tall når nye observasjoner tilføyes.

Tabell 4.4: *Framskrivingene og 95% konfidensintervaller*

år	måned	nedre	framsk.	øvre	fram. jus.
2000	september	201767	217538	233309	215477
	oktober	130872	153935	176999	154298
	november	102403	130944	159485	132645
	desember	100650	133887	167123	129524
2001	januar	96082	133326	170571	136971
	februar	96747	137717	178688	137932
	mars	108674	152941	197209	154307
	april	109612	157038	204464	152697
	mai	134376	184651	234925	188346
	juni	211083	264169	317255	262108
	juli	246886	302598	358310	302960
	august	206417	264637	322857	265916

Figur 4.3: *Rådata og framskrivinger*

- Kvalitetsmål og sliding spans

De 11 målene $M1-M11$ og Q (veiet gjennomsnitt av $M1-M11$) er gitt i nedenfor tabell.

$M1$	$M2$	$M3$	$M4$	$M5$	$M6$
0.031	0.024	0.209	1.173	0.449	0.862
$M7$	$M8$	$M9$	$M10$	$M11$	Q
0.339	0.425	0.306	0.448	0.439	0.353

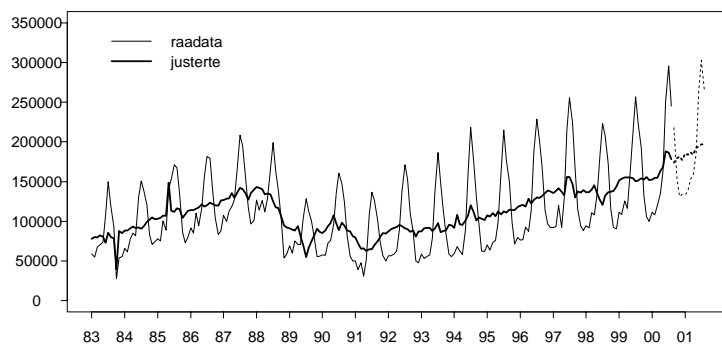
Verdien av $M4$ er høy. Tallet viser at den irregulære komponenten I_t ikke er en hvit støy prosess. Alle testene som er basert på I_t kan være ugyldige.

Sliding spans gir $S(\%)^{add} = 35.6$, $MM(\%)^{add} = 35.9$ og $YY(\%)^{add} = 12.0$ som er større enn grenseverdier for å ekseptere en sesongjustering. Vi kan få store revisjoner for sesongjusterte tall når nye observasjoner kommer.

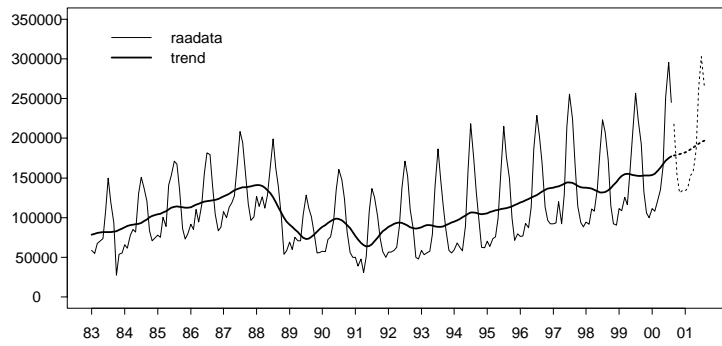
- Figurer

Vi har følgende figurer

- figur 4.4 for rådataene og sesongjusterte tall, fra 1983 til 2001
- figur 4.5 for rådataene og trend, fra 1983 til 2001
- figur 4.6 for sesongjusterte tall og trend, fra 1983 til 2001
- figur 4.7 for sesongkomponent, fra 1983 til 2001
- figur 4.8 for sesongkomponent gjennom årene, for hver måned
- figur 4.9 sesongkomponenten og rådataene
- figur 4.10 for irregulærkomponent (i prosent)



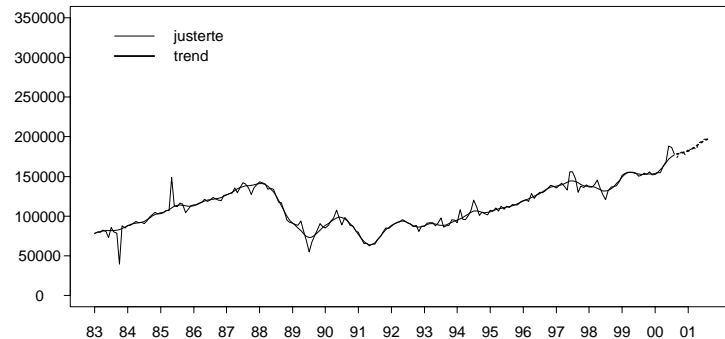
Figur 4.4: *Rådata og sesongjusterte tall (additiv modell)*



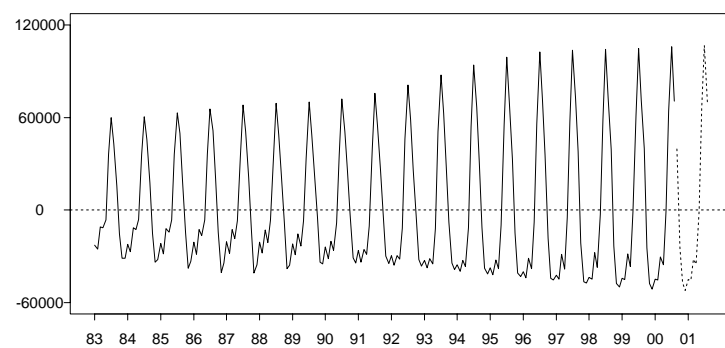
Figur 4.5: *Rådata og trend (additiv modell)*

Merk at skalaen på y -aksen for sesongkomponenten i figur 4.7 og 4.9 ikke er den samme. Siden vi har brukt den additiv modellen for sesongjusteringen, har sesongkomponenten S_t og rådataene O_t samme enhet. For å kunne plotte de to kurvene i samme figur, trekker vi O_t fra deres gjennomsnitt \bar{O}_t slik at S_t og O_t varierer rundt 0-aksen. Med denne metoden får vi et godt bilde om sesongvariasjoner i forhold til de observerte dataene. Vi ser i figur 4.9 at rådataene inneholder store sesongvariasjoner. Juni, juli og august er månedene som har høyeste sesongkomponentene og endringene i samme måned fra år til år er store. Sesongvariasjoner i januar, februar,

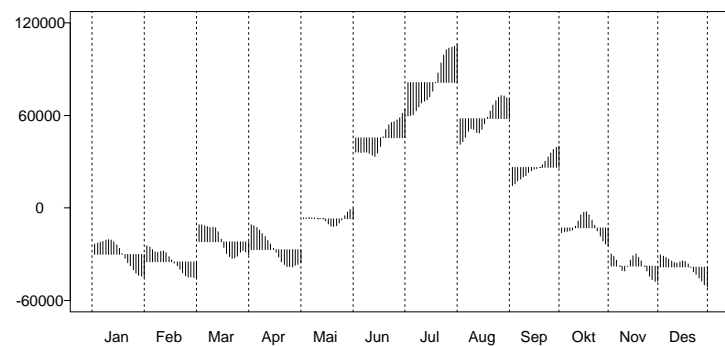
mars og april er også ustabile. Den irregulære komponenten beskriver avvikene mellom trenden og sesongjusterte tall. Siden tallene er lave bortsett fra tidspunktene for intervensioner, faller de to komponentene sammen.



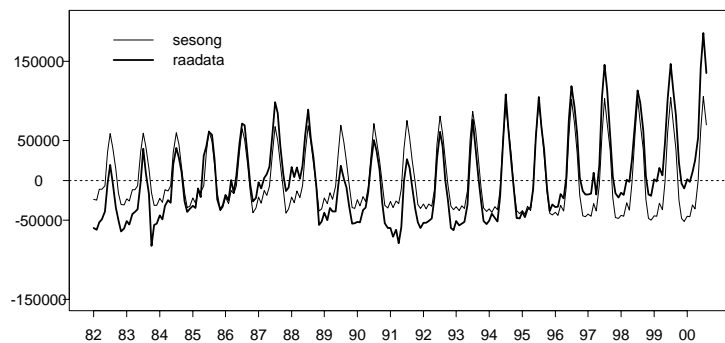
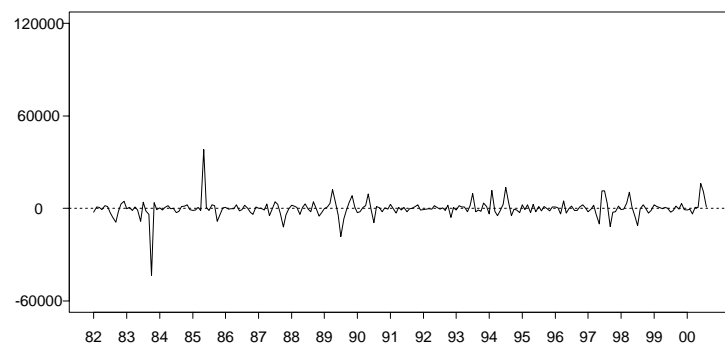
Figur 4.6: *Sesongjusterte tall og trend (additiv modell)*



Figur 4.7: *Sesongkomponenten (additiv modell)*



Figur 4.8: *Sesongkomponenten av 12 måneder gjennom årene (additiv modell)*

Figur 4.9: *rådataene og sesongkomponenten (additiv modell)*Figur 4.10: *Den irregulære komponenten (additiv modell)*

4.3 Sesongjustering med multiplikativ modell

Vi får følgende resultater

ARIMA (0 1 1)(0 1 1) er valgt for dataene. Intervensjonene er gitt i tabell 4.5.

Tabell 4.5: *Intervensjoner for passasjer på charter utlandet*

år	måned	type	est.verdi	std	t
1983	oktober	AO	-0.9269	0.0394	-23.49
1985	mai	AO	0.3438	0.0384	8.94
1988	november	LS	-0.2940	0.0561	-5.24
1991	april	AO	-0.2287	0.0402	-5.69
1991	juni	LS	0.2870	0.0562	5.11
1994	februar	AO	0.2346	0.0377	6.22

November 1988 og juni 1991 er to nivåskifter. Bortsett fra $M4 = 1.420$ er de andre M_i mindre enn 1. $Q = 0.240$. Sliding spans analysen gir $S(\%) = 21.2$, $MM(\%) = 19.4$ og $YY(\%) = 4.3$. Disse verdiene er lavere enn de samme størrelsene for additive modellen, men vi får også en dårlig sesongjustering for

antall passasjerer på charter utlandet totalt ved den multiplikative modellen (se tabell 2.4 for grenseverdiene av $S(\%)$, $MM(\%)$ og $YY(\%)$).

Vi får en høy verdi (dvs, større enn 1) for $M4$. Dette kan skyldes at det er flere tidspunkter som blir justert for intervensioner av typen AO. Verdien av $S(\%)$ er også høy. Årsaken kan være korrigeringen for intervensioner av typen LS. I den nye kjøringen vil vi begrense antall intervensioner i regARIMA modellen slik at $M4$ og $S(\%)$ kan bli mindre. Etter flere forsøk får vi lavere verdiene for $M4$, $S(\%)$, $MM(\%)$ og $YY(\%)$ ved å fjerne LS1988.nov, AO1991.apr og AO1994.feb fra modellen. Sliding spans gir $S(\%) = 14.4$, $MM(\%) = 15.5$ og $YY(\%) = 1.1$. Dessuten blir $M4$ mye mindre med $M4 = 0.988$. Resultater viser en god sesongjustering. Vi får

- ARIMA modell

ARIMA (0 1 1)(0 1 1) er valgt, med

Par.	Estimert		
	Verdi	Std	
$\hat{\theta}$	0.0378	0.0681	ikke sign. på 5% nivå
$\hat{\Theta}$	0.4984	0.0605	sign. på 5% nivå

Gjennomsnittlig absolutt prosent feil for framskrivinger:

siste år: 5.15, forrige år: 12.22, to år tidligere: 6.34
siste tre år: 7.90. Grenseverdien for siste tre år er 15%.

- Kalendereffekter

Effekten er signifikant, med $\chi^2 = 88.66$ og 6 frihetsgrader. Vektene for ukedager er listet ut i tabell 4.6. Lørdagen og søndagen er de dagene i uka som har de største passasjerertallene. For additive modellen er tirsdagen, mens her er det onsdagen som har de laveste tallene.

Tabell 4.6: *Ukedagseffekter*

	effekt	std	t-verdi
mandag	-0.0089	0.0072	-1.23
tirsdag	-0.0183	0.0074	-2.47
onsdag	-0.0054	0.0071	-0.76
torsdag	-0.0124	0.0072	-1.71
fredag	0.0104	0.0075	1.38
lørdag	0.0122	0.0072	1.69
søndag	0.0223	0.0073	3.05

Påskeeffekten er signifikant på 5% nivå, $t = 6.17$.

- Intervensioner

Tidspunktene, typene og størrelsene av intervensioner er vist i tabell 4.7.

Tabell 4.7: *Intervensjoner for passasjer på charter utlandet*

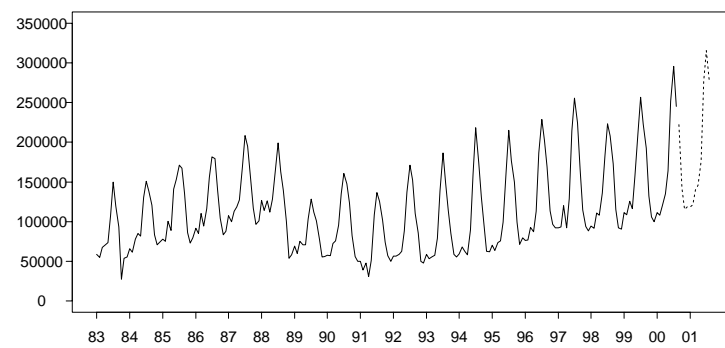
år	måned	type	est.verdi	std	t
1983	oktober	AO	-0.9300	0.0510	-18.22
1985	mai	AO	0.3426	0.0496	6.89
1991	juni	LS	0.2951	0.0681	4.33

- Framskrivinger

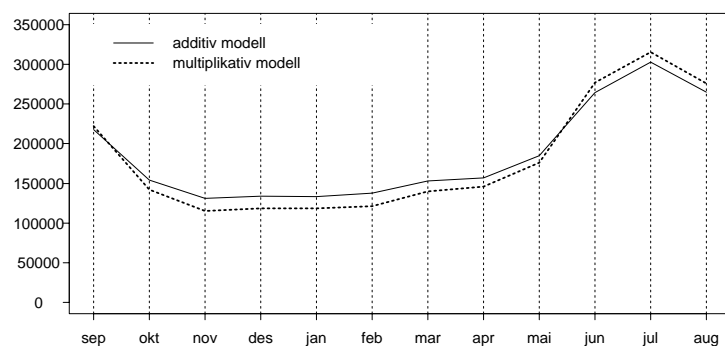
Framskrivogene og deres 95% konfidensintervaller er listet ut i tabell 4.8 og plottet i figur 4.11.

Tabell 4.8: *Framskrivogene og 95% konfidensintervaller*

år	måned	nedre	framsk.	øvre	fram. jus.
2000	september	190520	222242	259244	217263
	oktober	115039	142110	175553	142809
	november	89199	115239	148881	117304
	desember	88236	118557	159297	113350
2001	januar	85432	118704	164934	122634
	februar	84747	121431	173995	122516
	mars	95084	140189	206690	143275
	april	96381	145964	221055	139477
	mai	113635	176284	273474	182755
	juni	174079	276622	439568	270425
	juli	194005	315260	512300	316810
	august	166287	276065	458315	278099

Figur 4.11: *Rådata og framskrivinger*

Figur 4.12 viser framskrivogene av rådataene beregnes ved å ta \log (multiplikativ modell) og uten transformasjonen (additiv modell) av rådataene. Vi ser at den multiplikative modellen gir lavere verdier i midten og høyere i slutten.

Figur 4.12: *Framskrivinger ved additiv og multiplikativ modell*

- Tester for sesongmønster og sesongbevegelser

F-testene viser at sesongmønsteret og sesongbevegelsene er signifikante på 5% nivå. Vi får samme konklusjoner som for den additive modellen.

- Kvalitetsmål og sliding spans

De 11 målene $M1-M11$ og Q (veiet gjennomsnitt av $M1-M11$) er gitt i tabell 4.9. $M4$ er nå litt lavere enn 1.

Tabell 4.9: *Kvalitetsmål*

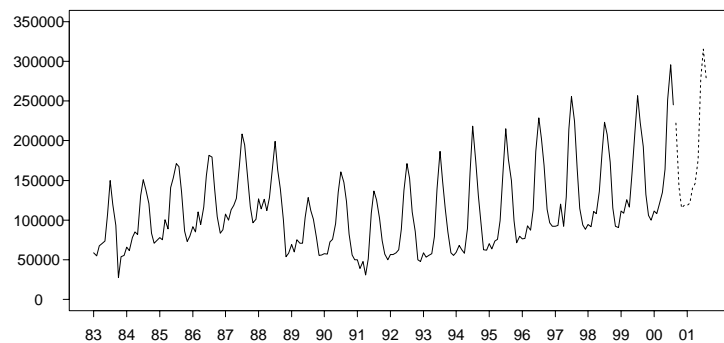
$M1$	$M2$	$M3$	$M4$	$M5$	$M6$
0.029	0.026	0.113	0.988	0.403	0.826
<hr/>					
$M7$	$M8$	$M9$	$M10$	$M11$	Q
0.212	0.467	0.083	0.528	0.521	0.288

Vi får $S(\%)^{mult} = 14.4$, $MM(\%)^{mult} = 15.5$ og $YY(\%)^{mult} = 1.1$ som viser en god sesongjustering.

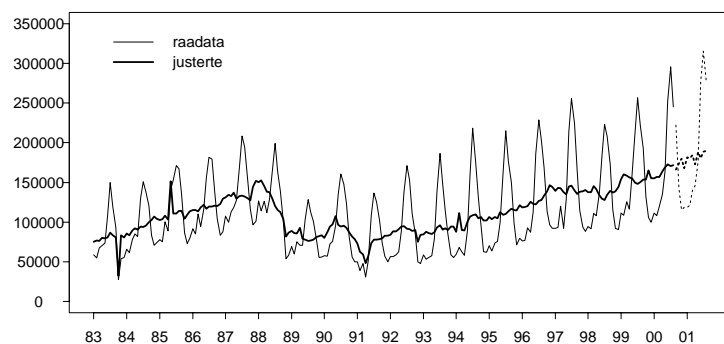
- Figurer

Vi har følgende figurer

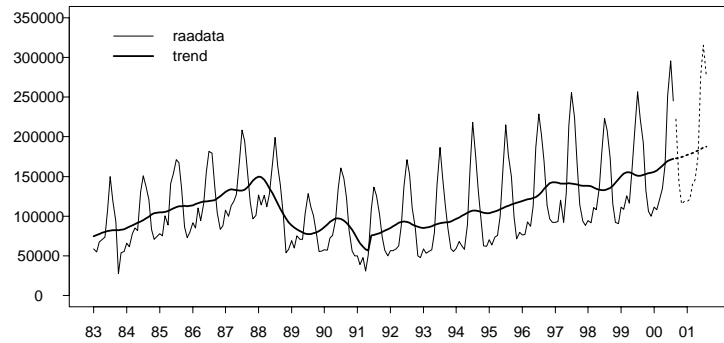
- figur 4.13 for rådataene og framskrivinger
- figur 4.14 for rådataene og sesongjusterte tall
- figur 4.15 for rådata og trend
- figur 4.16 for sesongjusterte tall og trend
- figur 4.17 for sesongkomponenten
- figur 4.18 for sesongkomponenten av 12 måneder
- figur 4.19 for irregulærkomponenten
- figur 4.20 for avviket i prosent av sesongjusterte tallene (additiv og multiplikativ modell)
- figur 4.21 for avviket i prosent av trendene (additiv og multiplikativ modell)



Figur 4.13: Rådataene og framskrivinger



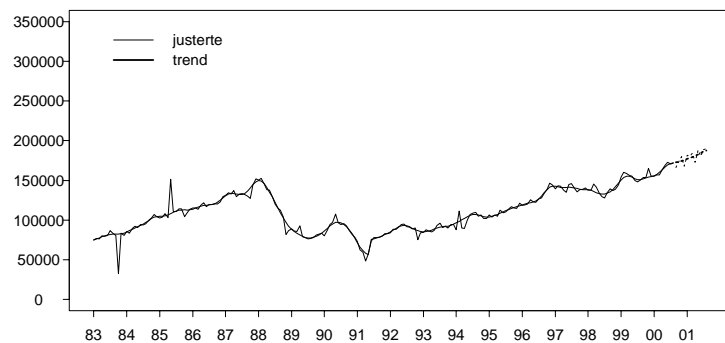
Figur 4.14: Rådataene og sesongjusterte tall



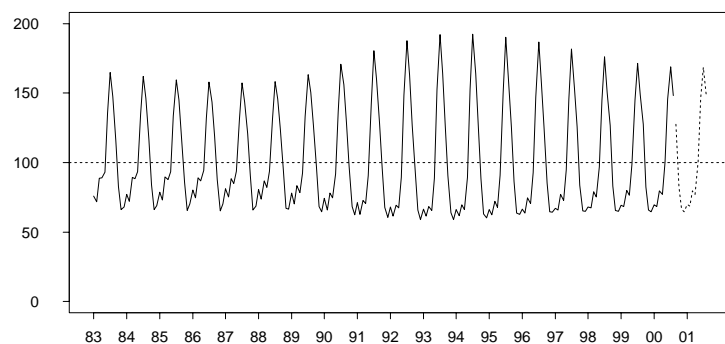
Figur 4.15: Rådataene og trend

4.4 Konklusjon og oppsummering

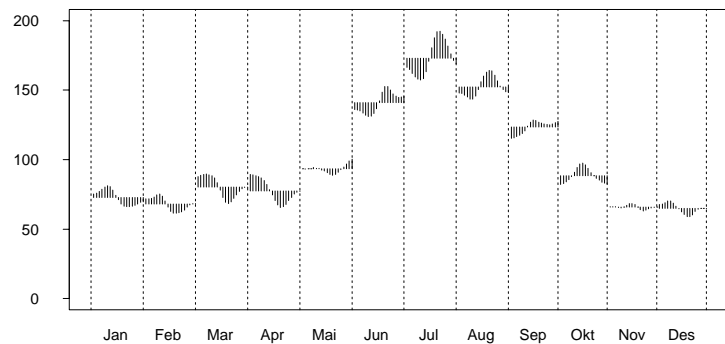
I første kjøring lar vi programmet selv velger en modell for sesongjustering. Testen er basert på $AICC$ verdiene fra regARIMA modell med \log og uten transformasjon (se side 67 i X-12-ARIMA manualen). En additiv modell blir valgt hvis $AICC_{nolog} < AICC_{log} + \Delta_{AICC}$, hvor $\Delta_{AICC} = -2$ som default verdien. Vi får $AICC_{nolog} = 4539$, og $AICC_{log} = 4623$. Dermed er den additive



Figur 4.16: Sesongjusterte tall og trend



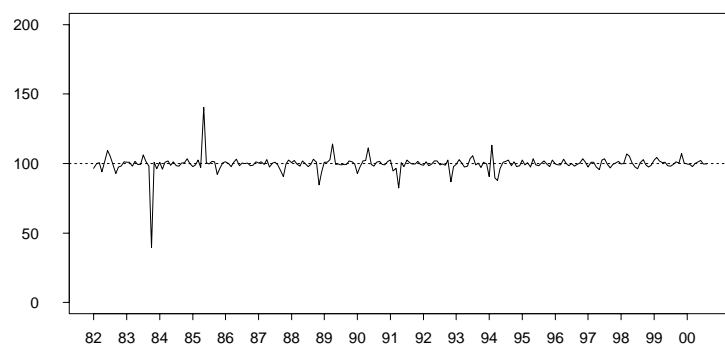
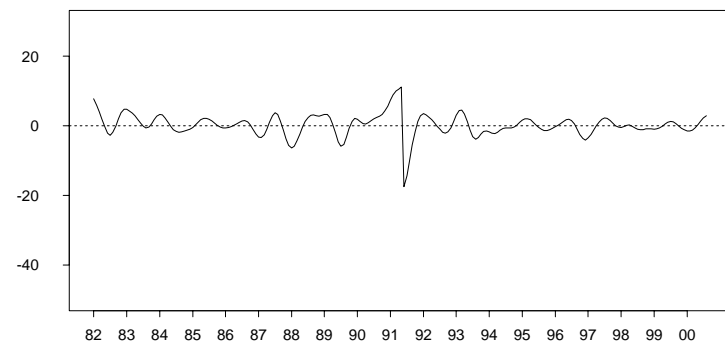
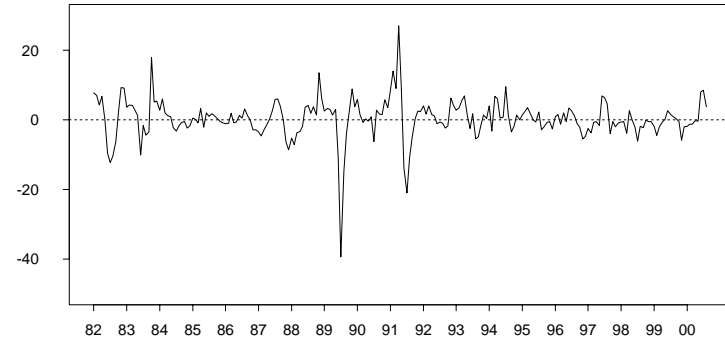
Figur 4.17: Sesongkomponent



Figur 4.18: Sesongkomponent

modellen valgt. Sliding spans analysen gir $S^{add}(\%) = 35.6$, $MM^{add}(\%) = 35.9$ og $YY^{add}(\%) = 12.0$.

Ved å transformere rådataene med \log som vi kaller multiplikativ modell, får vi fra sliding spans analysen $S^{mult}(\%) = 21.2$, $MM^{mult}(\%) = 19.4$ og $YY^{mult}(\%) = 4.3$. Resultater er bedre når vi begrenser antall intervensioner i modellen. $S(\%)$, $MM(\%)$ og $YY(\%)$ blir mindre med 14.4, 15.5 og $YY(\%)=1.1$, henholdsvis.

Figur 4.19: *Irregulærkomponent*Figur 4.20: *Avviket i prosent av trender*Figur 4.21: *Avviket i prosent av sesongjusterte tall*

Tabell 2.4 viser grenseverdiene for $S(\%)$ og $MM(\%)$. Tallene av disse størrelsene viser at vi får en god sesongjustering med multiplikativ modell, men den blir dårlig ved additiv modell. Modellen gir store revisjoner for sesongjusterte tall på grunn av høye sesongvariasjoner. Vi anbefaler en multiplikativ modell for charter på utenlands ruter. Figur 4.20 og 4.21 plotter avvikene i prosent av trender og sesongjusterte tall ved to modeller. De er relative store opptil 20% i tidspunkter

som knyttet til intervensioner, men i slutten av serien er tallene lave.

Tabell 4.10 og 4.11 lister ut rådataene, sesongjusterte tall, trend og den sesongkomponenten, samt deres framskrivinger ved additiv og multiplikativ modell.

4.5 Program

Programmet beskrives slik

```
series{title="Passasjerer på charter utlandet totalt"  
       start=1982.1  
       period=12  
       file="p_charter.dat"  
       decimals=2}  
transform{function=log}  
regression{aictest=(td easter)  
           savelog=aictest}  
automdl{file="my.mdl"  
        identify=all  
        savelog=automodel}  
forecast{save=(fct)}  
outlier{}  
estimate{maxiter=1000}  
x11{savelog=(m1 m2 m3 m4 m5 m6 m7 m8 m9 m10 m11 q)  
      print=all  
      save=(d10 d11 d12 d13)}  
slidingspans{additivesa=percent outlier=keep  
            print=all  
            savelog=percent}
```

Tabell 4.10: Observerte dataene og framskrivingen for sesongjusterte tall, trend og den sesongkomponenten for den additive modellen

mnd	år	Observerte data					Framskrivninger				
		rådata	justerte	trend	sek		rådata	justerte	trend	sek	
sep.	1999	192296	154210	152751	39786	sep.	2000	215477	173911	178356	39504
okt.	1999	132477	152577	152914	-24464	okt.	2000	154298	179446	179073	-24786
nov.	1999	106074	156082	152966	-47345	nov.	2000	132645	181312	179873	-46967
des.	1999	99746	152227	153052	-51202	des.	2000	129524	177142	180846	-51982
jan.	2000	111286	152651	153600	-44639	jan.	2001	136971	185665	182132	-45049
feb.	2000	108300	154834	155225	-45181	feb.	2001	137932	183569	183836	-45424
mar.	2000	120133	154874	158366	-30306	mar.	2001	154307	187254	185930	-31581
apr.	2000	135126	163381	162712	-35354	apr.	2001	152697	183527	188330	-35171
mai.	2000	164188	168328	167489	-496	mai.	2001	188346	192763	190848	-722
jun.	2000	251674	18002	171837	63970	jun.	2001	262108	194088	193219	65958
jul.	2000	295455	186265	175096	105916	jul.	2001	302960	196663	195278	106659
aug.	2000	245143	178254	177192	70584		2001	265916	197075	196878	70119

Tabell 4.11: *Observerte dataene og framskrivinger for sesongjusterte tall, trend og den sesongkomponenten for den multiplikative modellen*

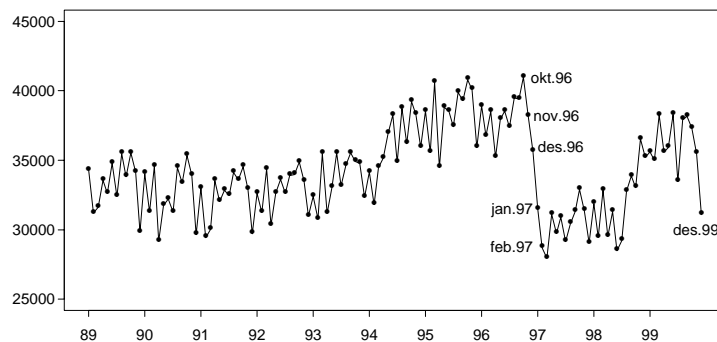
mnåd	år	Observerte data				Framskrivinger					
		rådata	justerte	trend	sek.%	mnåd	år	rådata	justerte	trend	sek.%
sep.	1999	192296	153526	151793	127.50	sep.	2000	222242	166297	172636	127.70
okt.	1999	132477	153400	153027	82.57	okt.	2000	142111	174033	173324	82.50
nov.	1999	106074	165204	154071	65.98	nov.	2000	115239	179881	174406	66.40
des.	1999	99746	155173	154837	64.75	des.	2000	118557	167689	175710	64.60
jan.	2000	111286	155499	155791	69.76	jan.	2001	118705	181568	176972	69.80
feb.	2000	108300	156799	157536	68.53	feb.	2001	121432	180223	178140	68.60
mar.	2000	120133	156691	160286	79.75	mar.	2001	140190	184072	179429	79.50
apr.	2000	135126	163769	163625	77.20	apr.	2001	145965	172614	180977	77.20
mai.	2000	164188	168838	166822	100.46	mai.	2001	176285	188121	182770	100.70
jun.	2000	251674	172897	169385	145.84	jun.	2001	276622	180267	184570	146.70
jul.	2000	295455	170407	171091	168.99	jul.	2001	315260	188739	186259	168.70
aug.	2000	245143	171589	172050	148.11	aug.	2001	276065	189688	187631	147.70

Kapittel 5

Flybevegelser på innenlands ruter, totalt

5.1 Innledning

Dataene er observert fra januar 1989 til desember 1999. Rådataene er plottet i figur 5.1. Kurven for tidsserien viser en kraftig reduksjon i tidspunktene etter desember 1996. Endringen fra desember 1996 til januar 1997 er stor -11.63%. Det er også en stor endring fra november til desember 1999. Dette skyldes ruteinnskrenkinger i SAS og Braathens som medfører redusert trafikk.



Figur 5.1: *Rådata av flybevegelser på innenlands ruter*

Vi lar i første omgang programmet selv finne en modell for sesongjustering. En additiv modell med ARIMA (2 1 0)(0 1 1) er valgt. Sliding spans gir $S(\%) = 0.0$, $MM(\%) = 0.0$ og $YY(\%) = 0.0$. Tallene viser en god sesongjustering.

Siden det er store variasjoner i rådataene vil vi transformere dataene med \log for å redusere fluktuasjoner. ARIMA (0 1 1)(0 1 1) er valgt. Vi får de samme verdiene for $S(\%)$, $MM(\%)$ og $YY(\%)$, men ARIMA modellen blir enklere. Dermed sesongjusterer vi flybevegelser på innenlands ruter med multiplikativ modell. Resultater presenteres i neste avsnitt.

5.2 Resultater

- ARIMA modell

ARIMA (0 1 1)(0 1 1) er valgt, med

Par.	Estimert		
	Verdi	Std	
$\hat{\theta}$	0.4185	0.0875	sign. på 5% nivå
$\hat{\Theta}$	0.5137	0.0904	sign. på 5% nivå

Gjennomsnittlig absolutt prosent feil for framskrivinger:

siste år: 3.93, forrige år: 3.16, to år tidligere: 1.90
 siste tre år: 3.00, $\chi^2 = 72.45$

Tallene viser en god tilpasning mellom ARIMA modell og dataene

- Kalendereffekter

Ukedagseffekter er signifikant på 5% nivå, med $\chi^2 = 60.88$, og 6 frihetsgrader. t -verdiene viser at onsdag har de fleste flybevegelsene i uken, mens fredag, lørdag og søndag har færre.

Tabell 5.1: *Ukedagseffekter*

	effekt	std	t-verdi
mandag	0.0011	0.0035	0.30
tirsdag	0.0023	0.0036	0.65
onsdag	0.0102	0.0035	2.88
torsdag	0.0042	0.0034	1.22
fredag	-0.0092	0.0034	-2.65
lørdag	-0.0010	0.0034	-0.29
søndag	-0.0076	0.0035	-2.13

Vi har en signifikant effekt på 5% nivå for onsdagen, mens for fredagen og søndagen er det negative signifikante effekter.

Påskeeffekten er også signifikant med $t = -16.19$ og $\hat{d} = 8$.

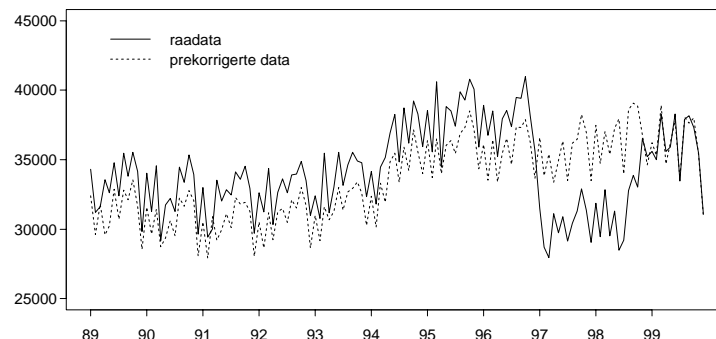
- Intervensjoner

Intervensjoner er gitt i tabell 5.2

Januar 1997 og november 1998 er to nivåskifter. Vi ser at rådataene i perioden [januar 1997-oktober 1998] er mye lavere sammenlignet med de samme månedene i tidsserien. Grunne er streiken i København i april-mai, flygelederstreik i juni, Widerøes streik i juli, Braathens streik og flytting Fornebu-Gardemoen i oktober 1998.

Tabell 5.2: *Intervensjoner*

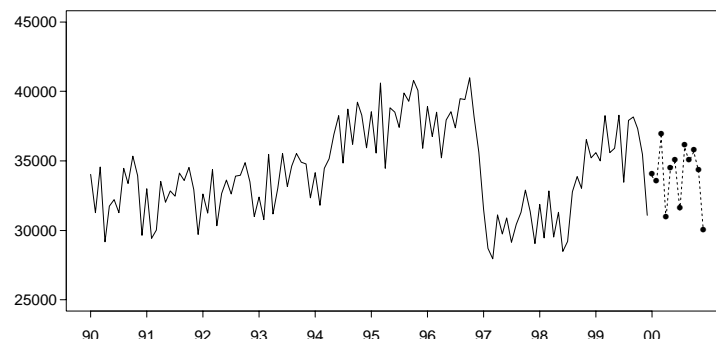
år	måned	type	est.verdi	std	t
1997	januar	LS	-0.2174	0.0187	-11.61
1998	juni	AO	-0.1347	0.0183	-7.34
1998	november	LS	0.1558	0.0193	8.06

Figur 5.2: *Rådata og prekorrigerte dataene for kalendereffekter og intervener*

Figur 5.2 viser rådataene og de korrigerte dataene for kalendereffekter og intervener. Vi ser at observasjonene blir justert ned i tidspunktene før januar 1997 og opp i perioden [januar 1997-oktober 1998].

- Framskrivinger

plottes i figur 5.3 og er listet ut i tabell 5.3. Vi får et lavere gjennomsnitt av framskrivinger sammenlignet med gjennomsnittet av rådataene i 1999. Mark at den siste kolonnen er framskrivingene som er justert for kalender-effekter i år 2000.

Figur 5.3: *Rådata og framskrivinger*

Tabell 5.3: *Framskrivingene og 95% konfidensintervaller*

år	måned	nedre	framsk.	øvre	fram. jus.
2000	januar	32367	33913	35533	34169
	februar	31656	33393	35225	32453
	mars	34656	36787	39050	35172
	april	28837	30797	32891	32321
	mai	32023	34350	36846	33887
	juni	32358	34892	37625	35068
	juli	29063	31472	34081	31709
	august	33100	35994	39141	35398
	september	32022	34957	38160	35314
	oktober	32520	35644	39068	35793
	november	31104	34249	37711	33761
	desember	27080	29918	33054	30455

- Tester for sesongmønster og sesong bevegelser

F' testen viser at sesongmønsteret er signifikant på 5%, $F' = 78.12$. Vi får en svak signifikans for sesongbevegelser, $F = 1.93$.

- Kvalitetsmål og sliding spans

Vi får

$M1$	$M2$	$M3$	$M4$	$M5$	$M6$
0.242	0.185	0.801	0.215	0.752	0.091
$M7$	$M8$	$M9$	$M10$	$M11$	Q
0.286	0.517	0.285	0.550	0.499	0.383

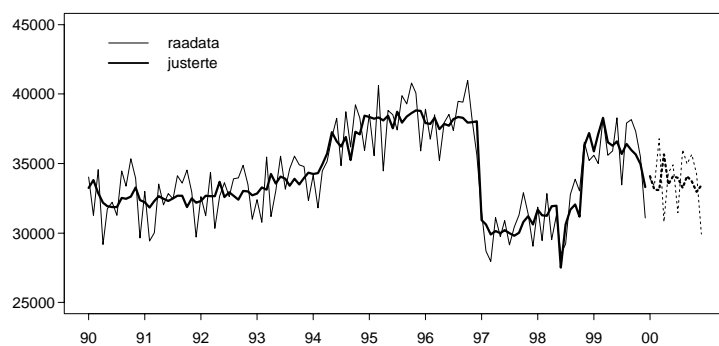
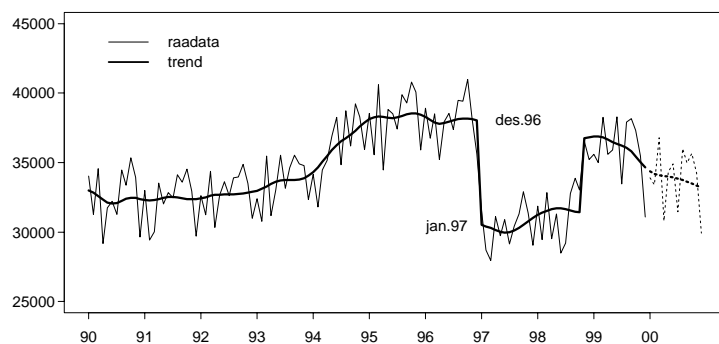
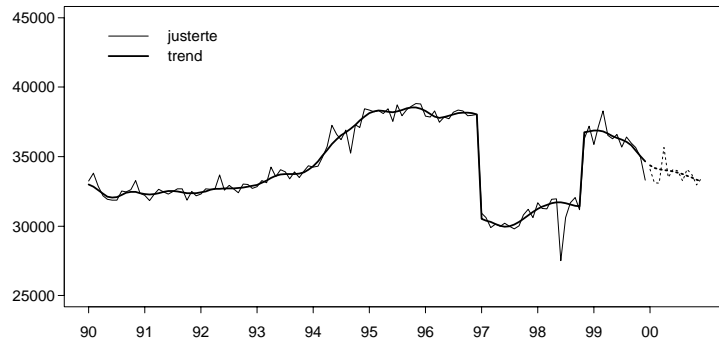
Sliding spans analysen gir $S(\%) = 0.0$, $MM(\%) = 0.0$ og $YY(\%) = 0.0$. Tallene viser en god sesongjustering.

- Figurer

Vi har følgende figurer

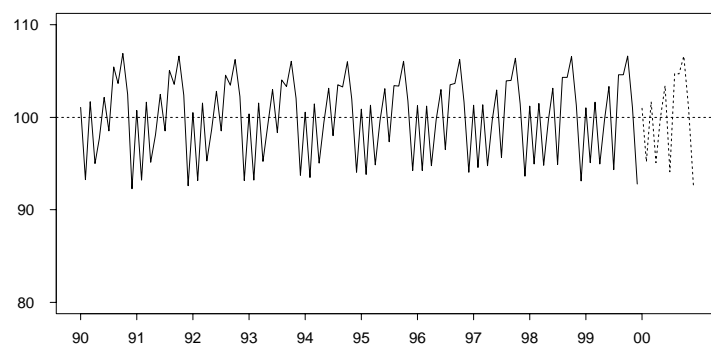
- Figur 5.4 for rådataene og sesongjusterte tall
- Figur 5.5 for rådataene og trend
- Figur 5.6 for sesongjusterte tall og trend
- Figur 5.7 for sesongkomponenten
- Figur 5.8 for sesongkomponenten i 12 måneder
- Figur 5.9 for den irregulære komponenten

Vi ser at trenden og sesongjusterte tall er brudd i januar 1997, og november 1998. Dette skyldes korrigeringen for nivåskifter.

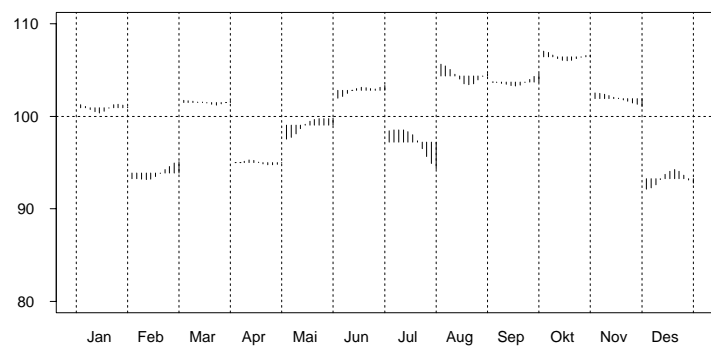
Figur 5.4: *Rådata og sesongjusterte tall*Figur 5.5: *Rådata og trend*Figur 5.6: *Sesongjusterte tall og trend*

5.3 Oppsummering

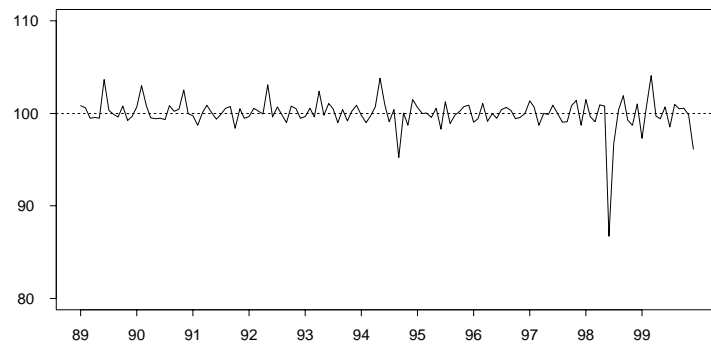
Vi får en god sesongjustering for flybevegelser på utenlands ruter. Sesongkomponenten er stabil. Oktober er måned som har høyst sesong. Tabell 5.4 viser rådataene, trend, sesongjusterte tall og sesongkomponenten samt deres framskrivinger.



Figur 5.7: Sesongkomponenten



Figur 5.8: Sesongkomponenten for 12 måneder



Figur 5.9: Den irregulære komponenten

5.4 Program

```
series{title="Flybevegelser på innenlandsruter"  
      start=1989.1  
      period=12  
      file="f_innenland.dat"  
      decimals=0}
```

```
transform{function=auto
          saveLog=autotransform}
regression{aictest=(td easter)
           saveLog=aictest}
automdl{file="my.mdl"
         identify=all
         saveLog=automodel}
forecast{save=(fct)}
outlier{}
estimate{maxiter=1000}
x11{saveLog=(m1 m2 m3 m4 m5 m6 m7 m8 m9 m10 m11 q)
     print=all
     save=(d10 d11 d12 d13)}
slidingspans{additivesa=percent outlier=keep
              print=all
              saveLog=percent}
history{}
```

Tabell 5.4: *Observerte dataene og framskrivinger for sesongjusterte tall, trend og den sesongkomponenten*

Observerte data i år 2000					Framskrivinger i år 2000				
mnd	rådata	justerte	trend	sek.%	mnd	rådata	justerte	trend	sek.%
jan.	35597	35869	36873	101.02	jan.	34169	34091	34370	100.98
feb.	35001	37128	36880	95.11	feb.	32453	33134	34183	95.19
mar.	38261	38296	36805	101.62	mar.	35172	33077	34094	101.66
apr.	35598	36539	36656	94.97	apr.	32321	35670	34041	95.10
mai.	35917	36269	36483	99.77	mai.	33887	33487	33988	99.83
jun.	38282	36588	36336	103.33	jun.	35068	34085	33923	103.40
jul.	33467	35681	36216	94.36	jul.	31709	33951	33837	94.10
aug.	37913	36398	36058	104.59	aug.	35398	33242	33739	104.72
sep.	38163	35979	35804	104.56	sep.	35314	34080	33634	104.68
okt.	37326	35645	35449	106.59	okt.	35793	33713	33502	106.61
nov.	35479	34982	35044	101.08	nov.	33761	32969	33353	100.94
des.	31074	33315	34664	92.79	des.	30455	33442	33208	92.70

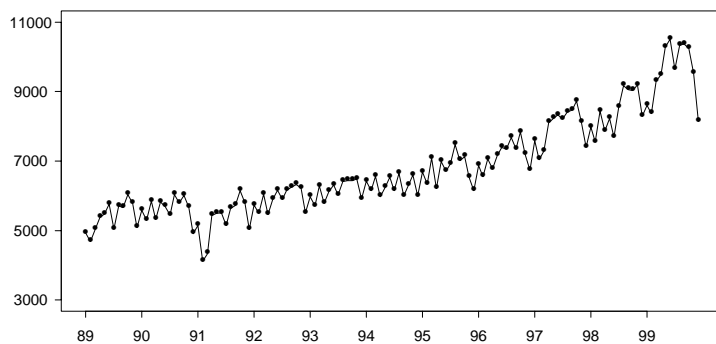
Kapittel 6

Flybevegelser på utenlands ruter, totalt

6.1 Innledning

Dataene er summen av antall flybevegelser på utenlands ruter for alle lufthavnene. Tidsserien er observert fra januar 1989 til desember 1999. En flybevegelse er enten en landing eller avgang. Rådataene er plottet i figur 6.1. Vi ser at det er en stor nedgang fra oktober til november, og fra november til desember 1999 ($O_{okt.99} = 10239$, $O_{nov.99} = 9526$, og $O_{des.99} = 8145$) sammenlignet med de samme månedene i årene før. I første kjøring lar vi programmet selv finne en modell for sesongjustering. Vi får $AICC^{add}=1738$ og $AICC^{mult}=1746$. Dermed blir addativ modell valgt. Dvs vi sesongjusterer tidsserien uten transformasjon for rådataene. Resultater er

1. ingen av de fem innebygde ARIMA modellene som gir en god tilpasning med observasjonen
2. $M10$ og $M11$ er større enn 1. Dette viser store fluktuasjoner i den sesongkomponenten S_t i de siste årene slik at vi kan få et dårlig estimat for sesongjusterte serien i slutten av serien, der tallene er mer interessert i.



Figur 6.1: *Rådata av flybevegelser på utenlands ruter*

Merk at programmet velger en ARIMA modell for dataene ved å basere på

følgende tester (se side 136 i X-12-ARIMA manualen)

(a) gjennomsnittlig absolutt prosent feil for framskrivinger i de siste tre årene må være mindre enn 15. Tallet er default verdien av **fcstlim**.

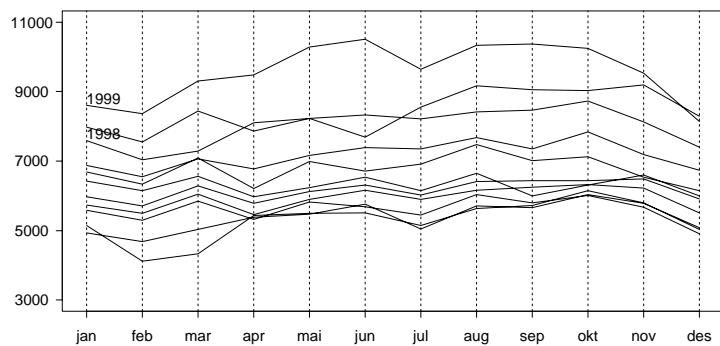
(b) p -verdien av Box-Ljung Q statistikken for å teste om residualene er en ukorrelert prosess, må være større enn 5%. Tallet er default verdien av **qlim**.

(c) ikke overdifferensiering, dvs $\sum_i \theta_i$ må være mindre enn 0.9. Tallet er default verdien av **overdiff**. θ_i er parametre av MA ledd, $\theta(B) = 1 - \theta_1 B - \theta_2 B^2 - \dots - \theta_q B^q$.

Vi velger **qlim=1** i andre kjøring. Vi får ARIMA (0 1 2)(0 1 1) som tilfredsstiller (a), (b) og (c), men $M10$ of $M11$ er fortsatt større enn 1.

I tredje kjøring, sesongjusterer vi tidsserien med *log* transformasjonen, og bruker default verdier for **fcstlim**, **qlim** og **overdiff**. ARIMA (2 1 2)(0 1 1) er vagt for dataene. $M10 = 0.790$ og $M11 = 0.793$. Sammenlignet med de samme størrelsene fra den første og andre kjøringen, viser $M10$ og $M11$ at flutusjoner i de siste årene er redusert slik at sesongkomponenten blir stabil. Sliding spans analysen gir $S(\%) = 0.0$, $MM(\%) = 0.0$ og $YY(\%) = 0.0$. Tallene viser at *log* transformasjonen gir en god sesongjustering for flybevegeler på utenlands ruter. Resultater fra sesongjustering beskrives i neste avsnitt.

Figur 6.2 viser rådataene av 12 måneder fra år til år. Det er sesongvariasjoner i tidsserien, men mønsteret forandrer seg, særlig i de siste årene.



Figur 6.2: Rådata for 12 måneder

Resultater fra sesongjusteringen skal vises i de neste avsnittene.

6.2 Resultater fra sesongjustering

- ARIMA modell

ARIMA (2 1 2)(0 1 1) er valgt, med

Par.	Estimert		
	Verdi	Std	
$\hat{\phi}_1$	-0.0105	0.1529	ikke sign. på 5% nivå
$\hat{\phi}_2$	0.5436	0.1325	sign. på 5% nivå
$\hat{\theta}_1$	0.1574	0.1191	ikke sign. på 5% nivå
$\hat{\theta}_2$	0.7157	0.1083	sign. på 5% nivå
$\hat{\Theta}$	0.6246	0.0772	sign. på 5% nivå

Gjennomsnittlig absolutt prosent feil for framskrivinger:

siste år: 5.08, forrige år: 2.07, to år tidligere: 5.83
siste tre år: 4.33.

Vi ser at $\hat{\theta}_1$ og $\hat{\phi}_1$ ikke er signifikante på 5% nivå. Ved å fjerne ϕ_1 og θ_1 fra modellen, får vi en stor verdi for $M4$ som viser en høy korrelasjon i den irregulære komponenten. Dermed vil vi ta med ϕ_1 og θ_1 i modellen for å beregne framskrivinger og estimere kalendereffekter.

- Kalendereffekter

Ukedagseffekter er signifikant på 5% nivå, med $\chi^2 = 34.53$, og 6 frihetsgrader. Onsdagen er signifikant på 5% nivå.

Tabell 6.1: *Ukedagseffekter*

	effekt	std	t-verdi
mandag	-0.0026	0.0043	-0.61
tirsdag	0.0036	0.0043	0.84
onsdag	0.0093	0.0041	2.23
torsdag	0.0016	0.0041	0.39
fredag	-0.0058	0.0041	-1.39
lørdag	-0.0063	0.0040	-1.56
søndag	0.0002	0.0043	0.05

Påskeeffekten er også signifikant på 5% nivå, med $t = -8.27$.

- Intervensjoner

Tidspunktene, typene og størrelsene av intervensioner er vist i tabell 6.2.

Tabell 6.2: *Intervensjoner*

år	måned	type	est.verdi	std	t
1991	februar	LS	-0.1753	0.0273	-6.42
1991	april	LS	0.1562	0.0291	5.36
1998	juni	AO	-0.1160	0.0230	-5.04

Forklaringen for juni 1998 er flygelederstreik i 4–5 dager uten trafikk. Vi får lave verdiene i trenden i februar og mars 1991 på grunn av korrigeringen for intervensioner.

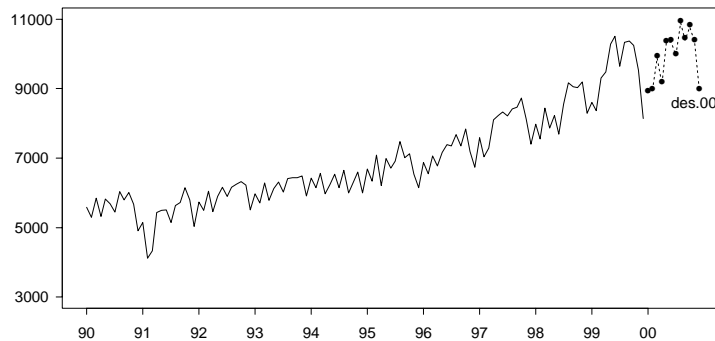
- Framskrivinger

Framskrivningene og deres 95% konfidensintervaller er listet ut i tabell 6.3 og plottet i figur 6.3.

Tabell 6.3: *Framskrivningene og 95% konfidensintervaller*

år	måned	nedre	framsk.	øvre	fram. jus.
2000	januar	8370	8892	9447	8970
	februar	8271	8943	9669	8680
	mars	9056	9879	10776	9584
	april	8310	9128	10028	9418
	mai	9349	10307	11364	10202
	juni	9345	10343	11447	10387
	juli	8979	9958	11043	10045
	august	9798	10889	12101	10732
	september	9329	10388	11566	10514
	oktober	9653	10765	12005	10752
	november	9264	10347	11556	10234
	desember	7994	8940	9997	9047

Den siste kolonnen viser framskrivningene som er korrigert for kalenderefekter i år 2000. Tallene viser en stor nedgang fra november til desember. Vi får en økning i trenden.



Figur 6.3: *Rådata og framskrivinger*

- Tester for sesongmønster og sesong bevegelser

Sesongmønsteret er signifikant på 5%, $F = 45.00$.

Vi får også en signifikans på 5% for sesongbevegelser, $F = 2.44$.

- Kvalitetsmål og sliding spans

De 11 målene $M1-M11$ og Q er gitt i nedenfor tabell.

$M1$	$M2$	$M3$	$M4$	$M5$	$M6$
0.240	0.139	0.186	0.699	0.494	0.284
$M7$	$M8$	$M9$	$M10$	$M11$	Q
0.399	0.678	0.367	0.790	0.773	0.404

Verdiene av M_i og Q er lave (< 1). Vi får fra sliding spans analysen $S(\%) = 0.0$, $MM(\%) = 0.0$ og $YY(\%) = 0.0$.

Tallene viser en god sesongjustering

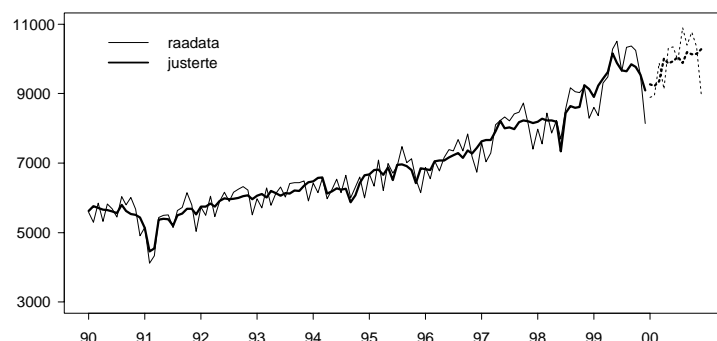
- Figurer

Vi har følgende figurer

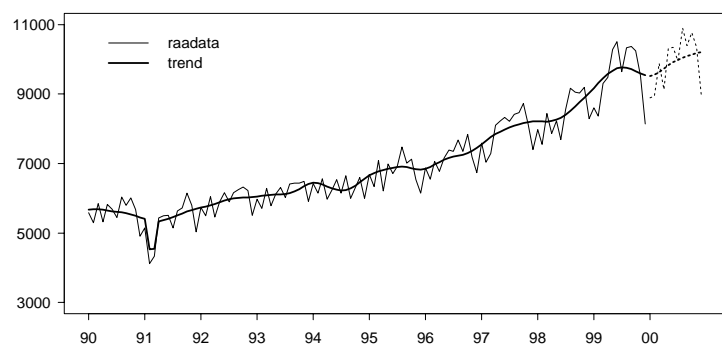
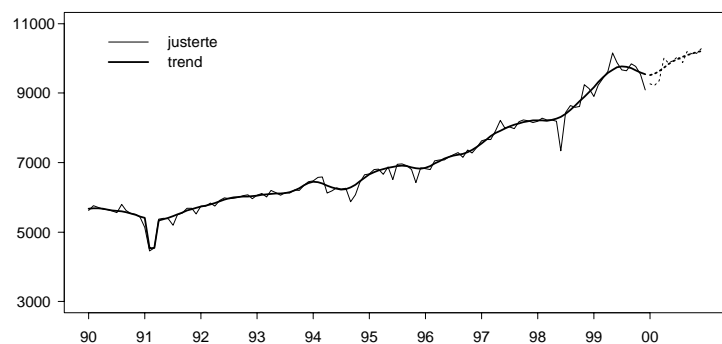
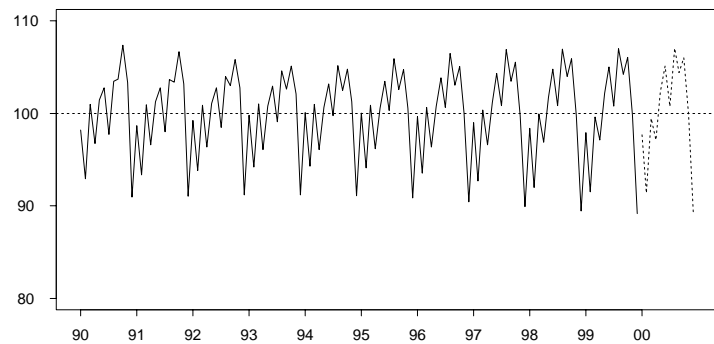
- Figur 6.4 for rådataene og sesongjusterte tall
- Figur 6.5 for rådataene og trend
- Figur 6.6 for sesongjusterte tall og trend
- Figur 6.7 for sesongkomponenten
- Figur 6.8 for sesongkomponenten i 12 måneder
- Figur 6.9 for den irregulære komponenten

6.3 Oppsummering

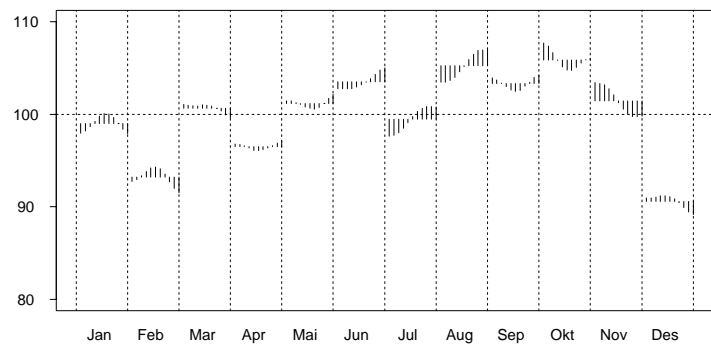
Vi få en god sesongjustering for flybevegelser på utenlands ruter. Dataene blir best tilpasset med multiplikativ modell, selv om testen anbefaler en additiv modell. F -testen viser at sesongmønsteret har endret seg med tid, men sesongvariasjoner er stabile. Vi får like store sesongkomponenten i 1999 og 2000 (se tabell 6.4). Figur 6.8 viser at aktiviteten er høyst i august og oktober, mens den er lavest i desember. Vi får en jevn økning i trenden.



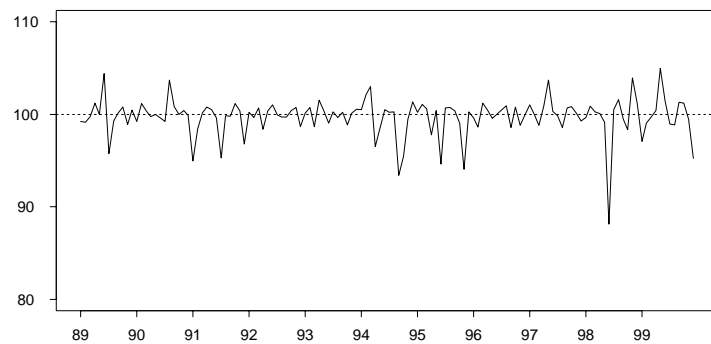
Figur 6.4: Rådata og sesongjusterte tall

Figur 6.5: *Rådata og trend*Figur 6.6: *Sesongjusterte tall og trend*Figur 6.7: *Sesongkomponenten*

I beregningen for framskrivinger får vi en stor nedgang fra november til desember 2000. Dette skydes stor nedgang i samme tidspunkter i året før. Tabell 6.4 listet ut de observerte dataene, sesongjusterte tall, trend og sesongkomponenten, samt deres framskrivinger.



Figur 6.8: Sesongkomponenten for 12 måneder



Figur 6.9: Den irregulære komponenten

6.4 Program

Programmet beskrives slik

```

series{title="Flybevegelser på utenlands ruter"
       start=1989.1   period=12
       file="f_utenland.dat"   decimals=2}
transform{function=log}
regression{aictest=(td easter)  savelog=aictest}
automdl{file="my.mdl"  identify=all  savelog=automodel}
forecast{save=(fct)}
outlier{}
estimate{maxiter=1000}
x11{savelog=(m1 m2 m3 m4 m5 m6 m7 m8 m9 m10 m11 q)
      save=(d10 d11 d12 d13)}
slidingspans{additivesa=percent outlier=keep
             print=all  savelog=percent}

```

Tabell 6.4: *Observerte dataene og framskrivinger for sesongjusterte tall, trend og den sesongkomponenten*

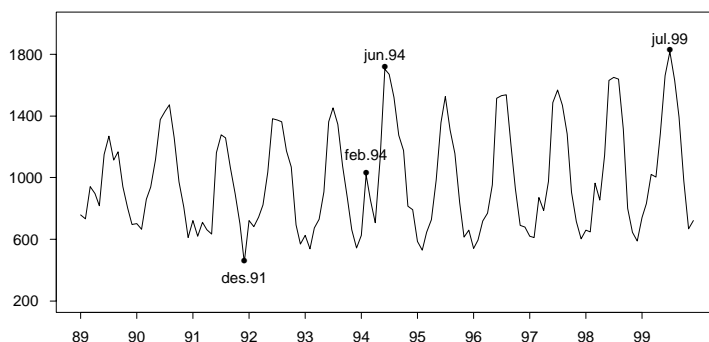
Observerte data i år 2000					Framskrivinger i år 2000				
mnđ	rådata	justerte	trend	sek.%	mnđ	rådata	justerte	trend	sek.%
jan.	8609	8898	9165	97.91	jan.	8892	9263	9522	97.68
feb.	8370	9226	9316	91.53	feb.	8943	9218	9550	91.40
mar.	9307	9428	9457	99.60	mar.	9879	9351	9626	99.44
apr.	9474	9612	9575	97.09	apr.	9128	10008	9728	97.09
mai.	10277	10151	9670	102.12	mai.	10307	9870	9829	102.30
jun.	10505	9876	9737	105.00	jun.	10343	9924	9915	105.10
jul.	9638	9663	9767	100.79	jul.	9958	10058	9985	100.75
aug.	10333	9647	9757	106.98	aug.	10889	9885	10039	107.00
sep.	10369	9842	9716	104.21	sep.	10388	10197	10089	104.37
okt.	10239	9773	9657	106.02	okt.	10765	10133	10136	105.98
nov.	9526	9537	9591	99.78	nov.	10347	10140	10175	99.83
des.	8145	9085	9540	89.19	des.	8940	10276	10211	89.10

Kapittel 7

Flybevegelser for charter på utenlands ruter

7.1 Innledning

Dataene er observert fra januar 1989 til desember 2000 og plottet i figur 7.1. Vi ser et klart sesongmønster. Juni, juli og august er de månedene som har høyest sesong. Vi får en høy verdi i februar 1994 og resten av året.



Figur 7.1: *Rådataene*

Programmet velger en additiv modell for sesongjustering siden den har mindre $AICC$ verdien. Vi får $AICC^{add} = 1464$ og $AICC^{mult} = 1494$. Resultater fra sliding spans analysen viser en dårlig dekomponering på grunn av at sesongkomponenten ikke er stabil (se tabell 7.1).

Siden sesongvariasjoner er store og de endrer seg med tid. Vi vil derfor transformere dataene med \log for at fluktuasjoner i tidsserien blir redusert. Ved å sesongjustere med $\log(O_t)$ får vi den samme ARIMA modell. Vi ser i tabell 7.1 at $S(\%)^{mult}$, $MM(\%)^{mult}$ og $YY(\%)^{mult}$ er mindre, men de er fortsatt ligger utenfor grenseverdiene av disse størrelsene for en god sesongjustering (se tabell 2.4).

I neste avsnitt presenterer vi resultater fra sesongjustering av charter på utenlands ruter med multiplikativ modell.

Tabell 7.1: Resultater fra sesongjustering ved to metoder

	Additiv	Multiplikativ
ARIMA modell	(0 1 1)(0 1 1)	(0 1 1)(0 1 1)
Ukedagseffekter	ikke sign.	ikke sign.
Påskeeffekt	ikke sign.	sign. på 5%
Intervensjoner	AO1994.feb	LS1989.mai AO1991.mai AO1991.des AO1994.feb LS1995.jan
Sliding spans	$S(\%) = 45.4$ $MM(\%) = 35.5$ $YY(\%) = 7.3$	$S(\%) = 28.7$ $MM(\%) = 27.1$ $YY(\%) = 0.0$

7.2 Resultater

- ARIMA modell

ARIMA (0 1 1)(0 1 1) er valgt, med

Par.	Estimert		
	Verdi	Std	
$\hat{\theta}$	0.4529	0.0812	sign. på 5% nivå
$\hat{\Theta}$	0.5208	0.0851	sign. på 5% nivå

Gjennomsnittlig absolutt prosent feil for framskrivinger:

siste år: 16.94, forrige år: 10.52, to år tidligere: 8.12
siste tre år: 11.86

Vi ser at avvikene mellom observasjonene og predikerte verdiene er store (dvs, større enn 15%) i det siste året. Dette medfører store usikkerheter for framskrivinger.

- Kalendereffekter

Ukedagseffekter er ikke signifikant på 5% nivå. Men vi får en signifikans på samme nivå for påskeeffekten, med $t = 2.96$, og $\hat{d} = 15$. En stor verdi av \hat{d} vil vise at dataene er påvirket av påskeeffekten i en lang periode.

- Intervensjoner

Tidspunktene, typene og størrelsene av intervensioner er vist i tabell 7.2.
Mai 1989 og januar 1995 er to nivåskifter.

Forklaringene for februar 1994 er Vinter Olympiadene og for januar 1995 er streiken SAS Commuter.

Tabell 7.2: *Intervensjoner*

år	måned	type	est.verdi	std	t
1989	mai	LS	-0.3190	0.0789	-4.04
1991	mai	AO	-0.3450	0.0662	-5.21
1991	desember	AO	-0.3165	0.0657	-4.81
1994	februar	AO	0.5208	0.0653	7.97
1995	januar	LS	-0.3274	0.0683	-4.79

- **Framskrivinger**

Framskrivningene og deres 95% konfidensintervaller er listet ut i tabell 7.3 og plottet i figur 7.2.

Tabell 7.3: *Framskrivningene og 95% konfidensintervaller*

år	måned	nedre	framsk.	øvre	fram. jus.
2000	januar	646	767	911	767
	februar	662	806	980	806
	mars	805	1003	1251	1043
	april	840	1067	1355	1026
	mai	1013	1307	1686	1307
	juni	1377	1807	2370	1807
	juli	1436	1915	2552	1915
	august	1320	1786	2416	1786
	september	1092	1499	2057	1499
	oktober	743	1033	1437	1033
	november	537	757	1067	757
	desember	525	749	1070	749

Den siste kolonnen av tabell 7.3 er framskrivinger som er korrigert for kalendereffekter i år 2000. Vi får samme mønster for de prognosene og observasjonene i det siste året.

- **Tester for sesongmønster og sesong bevegelser**

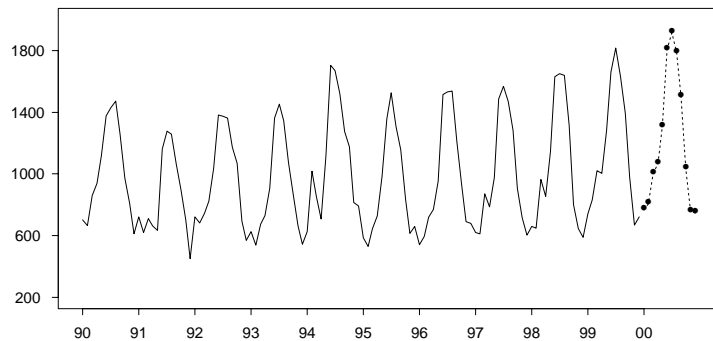
Sesongmønsteret er signifikant på 5%, med $F = 275.5$. Vi får også en signifikans på 5% for sesongbevegelser, med $F = 4.1$.

- **Kvalitetsmål og sliding spans**

De 11 målene $M_1 - M_{11}$ og Q er gitt i nedenfor tabellen

M_1	M_2	M_3	M_4	M_5	M_6
0.067	0.085	0.747	0.054	0.685	0.211

M_7	M_8	M_9	M_{10}	M_{11}	Q
0.187	0.277	0.201	0.293	0.260	0.281



Figur 7.2: Rådataene og framskrivinger

Verdiene av M_i og Q er lave (< 1). Vi får fra sliding spans analysen $S(\%) = 28.7$, $MM(\%) = 27.1$, og $YY(\%) = 0.0$. En stor verdi av $S(\%)$ (større enn 25) viser en ustabil sesongkomponent som medfører sesongjusterte tallene er ustabile. Dvs revisjoner blir store når nye observasjoner kommer.

- Figurer

Vi har følgende figurer

- Figur 7.3 for rådataene og sesongjusterte tall
- Figur 7.4 for rådataene og trend
- Figur 7.5 for sesongjusterte tall og trend
- Figur 7.6 for sesongkomponenten
- Figur 7.7 for sesongkomponenten i 12 måneder
- Figur 7.8 for den irregulære komponenten

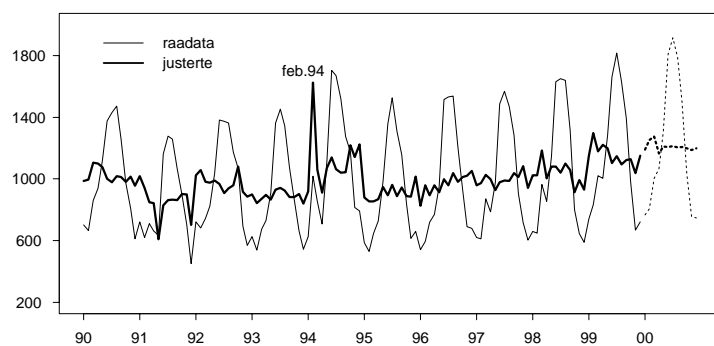
Vi ser i figur 7.3 og 7.4 at sesongjusterte tall og trenden er brudd i januar 1995 og det er en uvanlig høy verdi i februar 1994. Dette skyldes korrigeringen for nivåskiftet i januar 1995 og en additive outlier i februar 1994. Juni og juli er månedene som har høy sesong.

7.3 Oppsummering

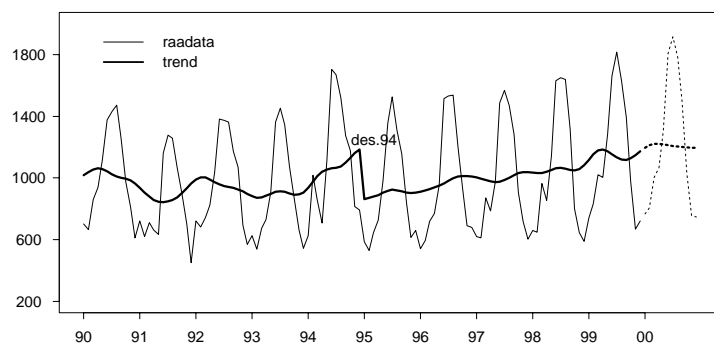
Vi får ikke en god sesongjustering av flybevegelser for charter på utenlands ruter ved både additiv og multiplikativ modell på grunn av store sesongvariasjoner. I dette tilfellet vil vi publisere bare trenden. Tabell 7.4 viser rådataene, sesongjusterte tall, trend og sesongkomponenten i det siste året samt desres framskrivinger.

7.4 Program

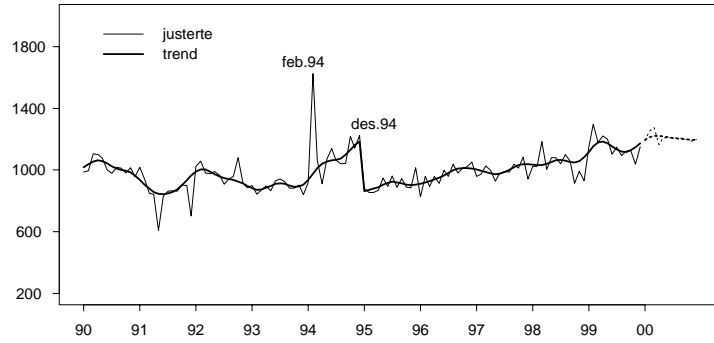
Programmet beskrives slik



Figur 7.3: Rådataene og sesongjusterte tall

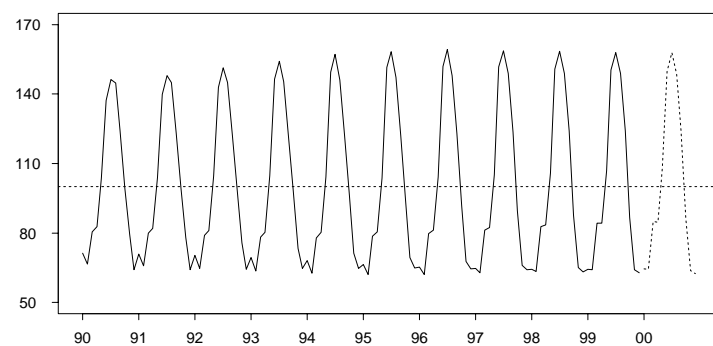
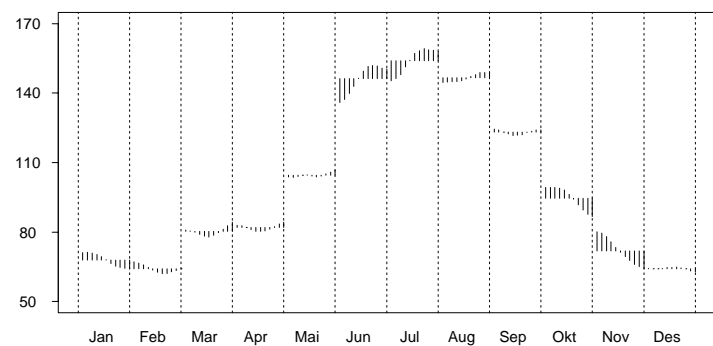
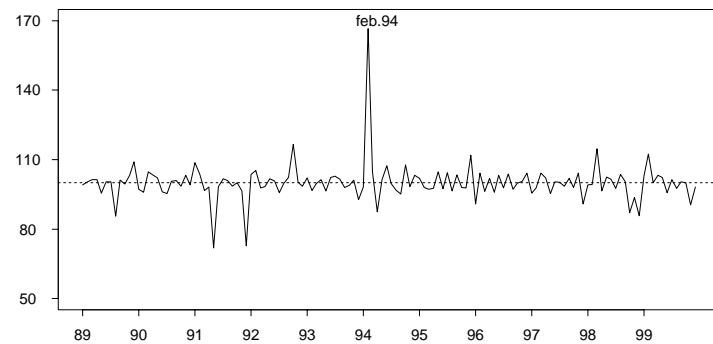


Figur 7.4: Rådataene og trend



Figur 7.5: Sesongjusterte tall og trend

```
series{title="Flybevegelser på charter utlandet totalt"
       start=1989.1
       period=12
       file="f_charter.dat"
       decimals=2}
transform{function=log}
```

Figur 7.6: *Sesongkomponenten*Figur 7.7: *Sesongkomponenten for 12 måneder*Figur 7.8: *Den irregulære komponenten*

```
regression{aictest=(td easter)
           savelog=aictest}
automdl{file="my.mdl"
        identify=all
        savelog=automodel}
forecast{save=(fct)}
```

```
outlier{}
estimate{maxiter=1000}
x11{savelog=(m1 m2 m3 m4 m5 m6 m7 m8 m9 m10 m11 q)
      print=all
      save=(d10 d11 d12 d13)}
slidingspans{additivesa=percent outlier=keep
              print=all
              savelog=percent}
```

Tabell 7.4: *Observerte dataene og framskrivinger for sesongjusterte tall, trend og den sesongkomponenten*

Observerte data i år 2000					Framskrivinger i år 2000				
mond	rådata	justerte	trend	sek.%	mond	rådata	justerte	trend	sek.%
jan.	742	1152	1118	64.39	jan.	767	1189	1195	64.56
feb.	832	1297	1153	64.12	feb.	806	1252	1212	64.36
mar.	1022	1179	1178	84.33	mar.	1003	1276	1221	85.08
apr.	1003	1222	1184	84.35	apr.	1067	1166	1222	84.64
mai.	1283	1200	1173	106.86	mai.	1307	1211	1218	107.89
jun.	1660	1104	1153	150.32	jun.	1807	1206	1212	149.79
jul.	1815	1149	1134	157.91	jul.	1915	1212	1207	157.96
aug.	1629	1094	1121	148.82	aug.	1786	1203	1204	148.46
sep.	1394	1123	1118	124.03	sep.	1499	1207	1202	124.20
okt.	979	1129	1129	86.69	okt.	1033	1198	1199	86.26
nov.	668	1039	1149	64.26	nov.	757	1188	1197	63.74
des.	723	1151	1173	62.80	des.	749	1200	1195	62.49

Kapittel 8

En oppsummering for luftfartsstatistikk

Vi beskriver her korte resultater fra sesongjustering av seks tidsserier:

antall passasjerer på innenlands ruter (forkortelse med `pas_inn`)
antall passasjerer på utenlands ruter (forkortelse med `pas_ut`)
antall passasjerer på charter utenlands ruter (forkortelse med `pas_cha`)

antall flybevegelser på innenlands ruter (forkortelse med `fly_inn`)
antall flybevegelser på utenlands ruter (forkortelse med `fly_ut`)
antall flybevegelser på charter utenlands ruter (forkortelse med `fly_cha`)

- Modell for sesongjustering

presenteres i tabell 8.1

Tabell 8.1: *Modell for sesongjustering*

	X-12-ARIMA velger	Vi kjører med
<code>pas_inn</code>	multiplikativ modell	multiplikativ modell
<code>pas_ut</code>	multiplikativ modell	multiplikativ modell
<code>pas_cha</code>	additiv modell	multiplikativ modell
<code>fly_inn</code>	additiv modell	multiplikativ modell
<code>fly_ut</code>	additiv modell	multiplikativ modell
<code>fly_cha</code>	additiv modell	multiplikativ modell

- ARIMA modell

Modellene er listet ut i tabell 8.2. Vi ser at ARIMA (0 1 1)(0 1 1) brukes mest.

Ligningen for ARIMA(0 1 1)(0 1 1) er

$$(1 - B)(1 - B^{12})O_t = (1 - \theta B)(1 - \Theta B^{12})\epsilon_t, \quad BO_t = O_{t-1}.$$

Bibliografi

- [1] Alan Pankratz (1991), "Forecasting with Dynamic Regression Models", Wiley Interscience
- [2] Bell W. R. and Hillmer S. C. (1983). "Modelling Time Series With Calendar Variation". *Journal of the American Statistical Association*, 78, 526-534
- [3] Cleveland W. S. and Susan J. D. (1980), "Calendar Effects in Monthly Times Series: Detection by Spectrum Analysis and Graphical Methods", *Journal of the American Statistical Association*, 75, 487-495
- [4] Findley D. F., Brian C. Monsell, William R. Bell, Mark C. Otto and Bor-Chung Chen (1998). "New Capabilities and Methods of the X-12 ARIMA Seasonal Adjustment Program", *Journal of Business & Economic Statistics*, 16, 127-177
- [5] Dagum Estela Bee, Benoîr Quenneville and Brajendra Sutradhar (1992). "Trading-day Variations Multiple Regression Models with Random Parameters", *International Statistical Review*, 60, 57-73
- [6] Dagum Estela Bee (1988). "The X11ARIMA /88 Seasonal Adjustment Method Foundations and User's Manual"
- [7] John Higginson (1975). "An F Test for the presence of moving seasonality when using census method II-X-11 variant"
- [8] Lars A. Loe (1987). "Framskriving av tidsseriedata i kvartalsvis nasjonalregnskap", Notater 87/1
- [9] Leiv Solheim og Dinh Quang Pham (1997). "Prekorrigering av påskeeffekten for detaljvolumindeksen 1979-1997", Notater 73/97
- [10] Lothian J. and M. Morry. "A set of Quality Control Statistics for the X-11 ARIMA"
- [11] Bureau of the Census. "X-12 ARIMA Reference Manual, Version 0.2.5, October 1, 1999"
- [12] S-PLUS User'Manual, version 3.2, December 1993

De sist utgitte publikasjonene i serien Notater

- 2000/50 J.F. Bjørnstad: En innføring i utvalgsundersøkelser. 91s.
- 2000/51 A.G. Pedersen: Oversikt over dødsårsaksregisterets koderegler 1996-1997. 39s.
- 2000/52 O. Klungsøy: Sammenligning av mikroformler for prisindeks og modelltilpassing. 36s.
- 2000/53 G. Dahl og B.R. Joneid: FD - Trygd: Dokumentasjonsrapport: Inntekt og formue, 1992-1997. 36s.
- 2000/54 K. Flugsrud og G. Haakonsen: Utslipp av klimagasser i norske kommuner: En gjennomgang av datakvaliteten i utslippsregnskapet. 44s.
- 2000/56 T. Hægeland: "Ny" vekstteori: Et nytt forskningsprogram eller naturlig prosjon? Utviklingen innenfor økonomisk vekstteori vurdert i forhold til Imre Lakatos' vitenskapsfilosofi. 19s.
- 2000/57 K.-G. Lindquist: SAS-programmer for korrigering av data fra industristatistikken og beregning av variable for analyseformål. 53s.
- 2000/58 A. Akselsen: FD - Trygd: Dokumentasjon av uttak til Sandmanutvalget (SHD). 28s.
- 2000/59 J. Johansen og Ø. Sivertstøl: FD - Trygd: Dokumentasjonsrapport: Fødsels- og sykepenger, 1992-1998. 109s.
- 2000/60 K-G. Lindquist: Database for energiintensive næringer: Tall fra industristatistikken: Oppdatert versjon av notat 97/30. 17s.
- 2000/61 O. Haugen: Utrekning av vekter til inntekts- og formuesundersøkingane 1998. 24s.
- 2000/62 Ø. Kleven: Ferieundersøkelsen 1999 Panel: Dokumentasjonsrapport. 50s.
- 2000/63 P.G. Larssen: Overvakningssystemet for bedrifter i BoF. 29s.
- 2000/64 R. N. Johnsen: Undersøking om foreldrebetaling i barnehagar, august 2000. 36s.
- 2000/65 A. Thomassen: Byggekostnadsindeks for rørleggerarbeid i kontor- og forretningsbygg. 14s.
- 2000/67 A.G. Hustoft og G. Olsen: Metadata for statistikk om personer og husholdninger : Forprosjektrapport. 34s.
- 2000/68 A. Bruvoll, K. Flugsrud og H. Medin: Dekomponering av endringer i utslipp til luft i Norge - dokumentasjon av data. 19s.
- 2000/69 M. Vik Dysterud og E. Engelien: Tettstedsavgrensing: Teknisk dokumentasjon 2000. 53s.
- 2000/70 A. Akselsen, G. Dahl, J. Lajord og Ø. Sivertstøl: FD - Trygd: Variabelliste. 48s.
- 2000/71 B.O. Lagerstrøm: Kompetanse i grunnskolen , del 2: Dokumentasjonsrapport. 19s.
- 2000/72 B.O. Lagerstrøm: Kompetanse i grunnskolen: Hovdresultater 1999/2000 170s.
- 2000/73 J.H. Wang: Kvartalsvis investeringsstatistikk. 57s.
- 2000/74 P.O. Lande og T. Hoel: Dødsårsaksregisteret: Systemdokumentasjon. 90s.
- 2000/75 A.G. Pedersen, P.O. Lande og T. Hoel: Dødsårsaksregisteret: Brukerdokumentasjon. 99s.
- 2000/76 A.G. Hustoft, B. Vannebo: En undersøkelse av frafallet i utvalgsundersøkelser i perioden 1997-2000. 56s.
- 2000/77 P.O. Lande og J. Kittelsen: Forbruksundersøkinga 2000. Innlasting/Innsjekking: Brukardokumentasjon. 17s.
- 2000/78 J. Fosen, A.K. Johnsen og G. Røyne: Frafall blant innvandrere. En undersøkelse av frafall i Utdanningsundersøkelsen 1999 og i valgundersøkelser blant innvandrere. 53s.
- 2000/79 J. Kittelsen og P.O. Lande: OPPSLAG - Forbruksundersøkelsen. Brukerdokumentasjon. 39s.